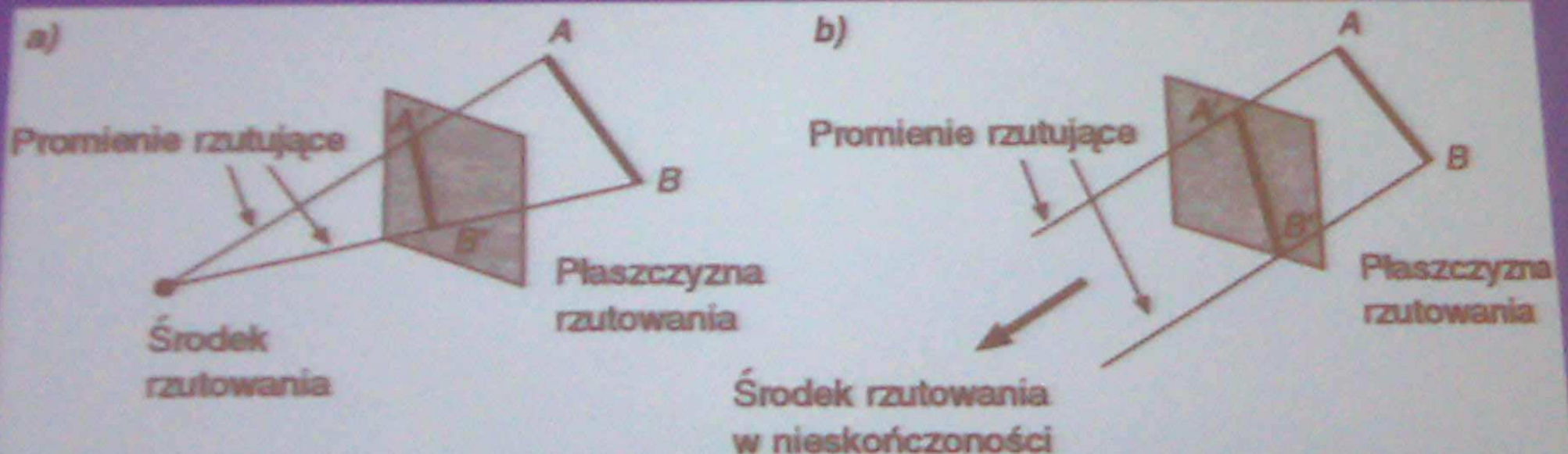


wyklady_do_kolos2

Rzutowanie

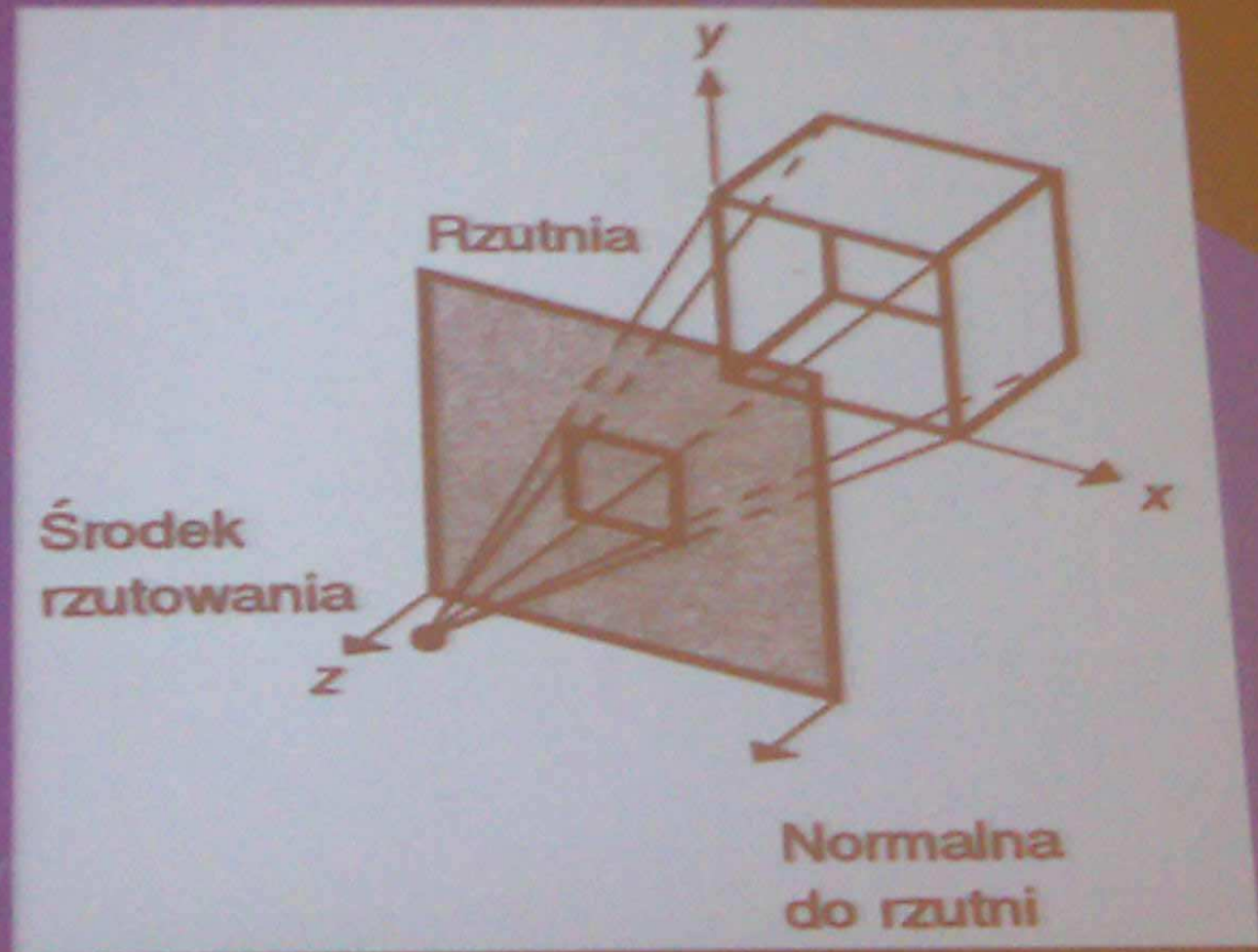
Rzutowanie to przekształcenia punktów z n -wymiarowej przestrzeni, do przestrzeni o wymiarze mniejszym niż n

- $3D \rightarrow 2D$
- Rzutowanie planarne
- Rzut równoległe
- Rzuty perspektywiczne



Proces rzutowania

- Rodzaj rzutu
- Parametry rzutu
 - Środek rzutowania
 - Rzutnia
- Obcinanie 3D
- Rzutowanie
- Kamera
 - Parametry kamer
- Bryła widzenia

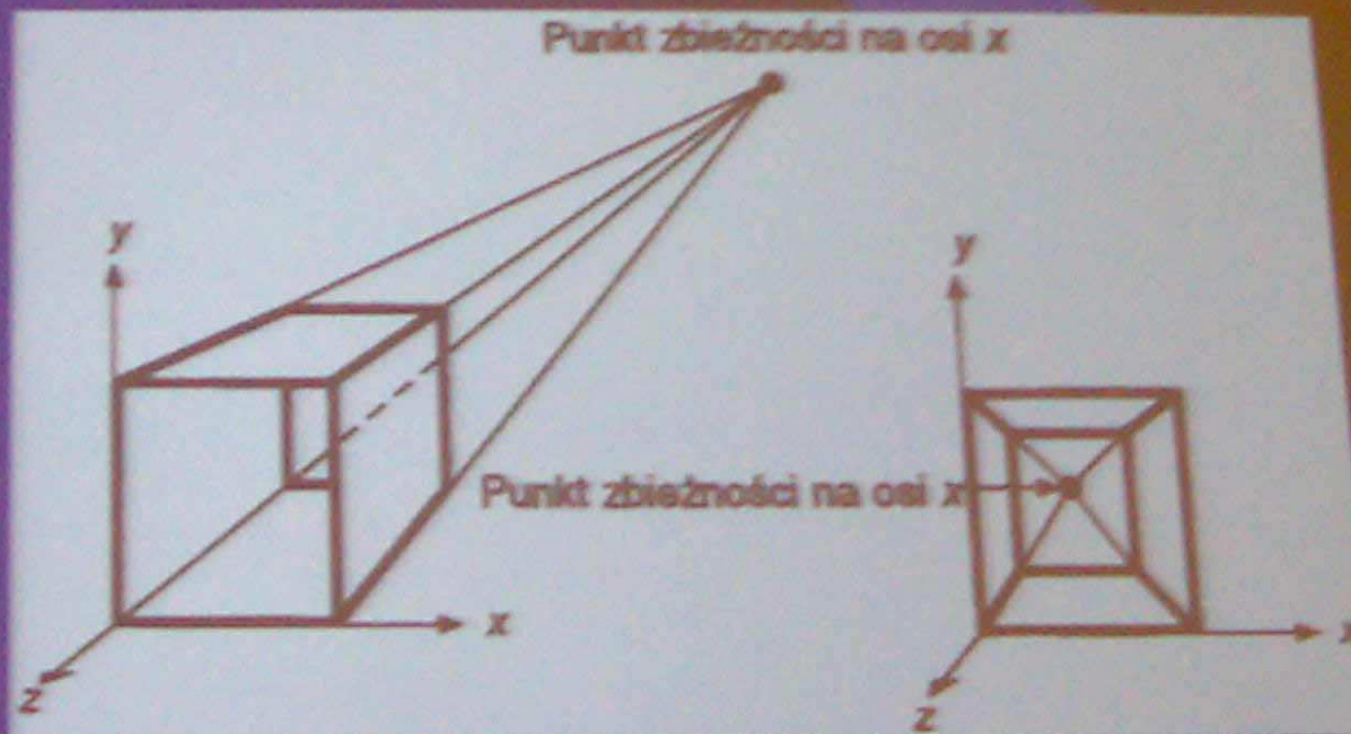


Rzuty perspektywiczne

- *Punkt zbieżności* – miejsce w którym zbiegają się rzuty zbioru linii równoległych
- Osiowe punkty zbieżności

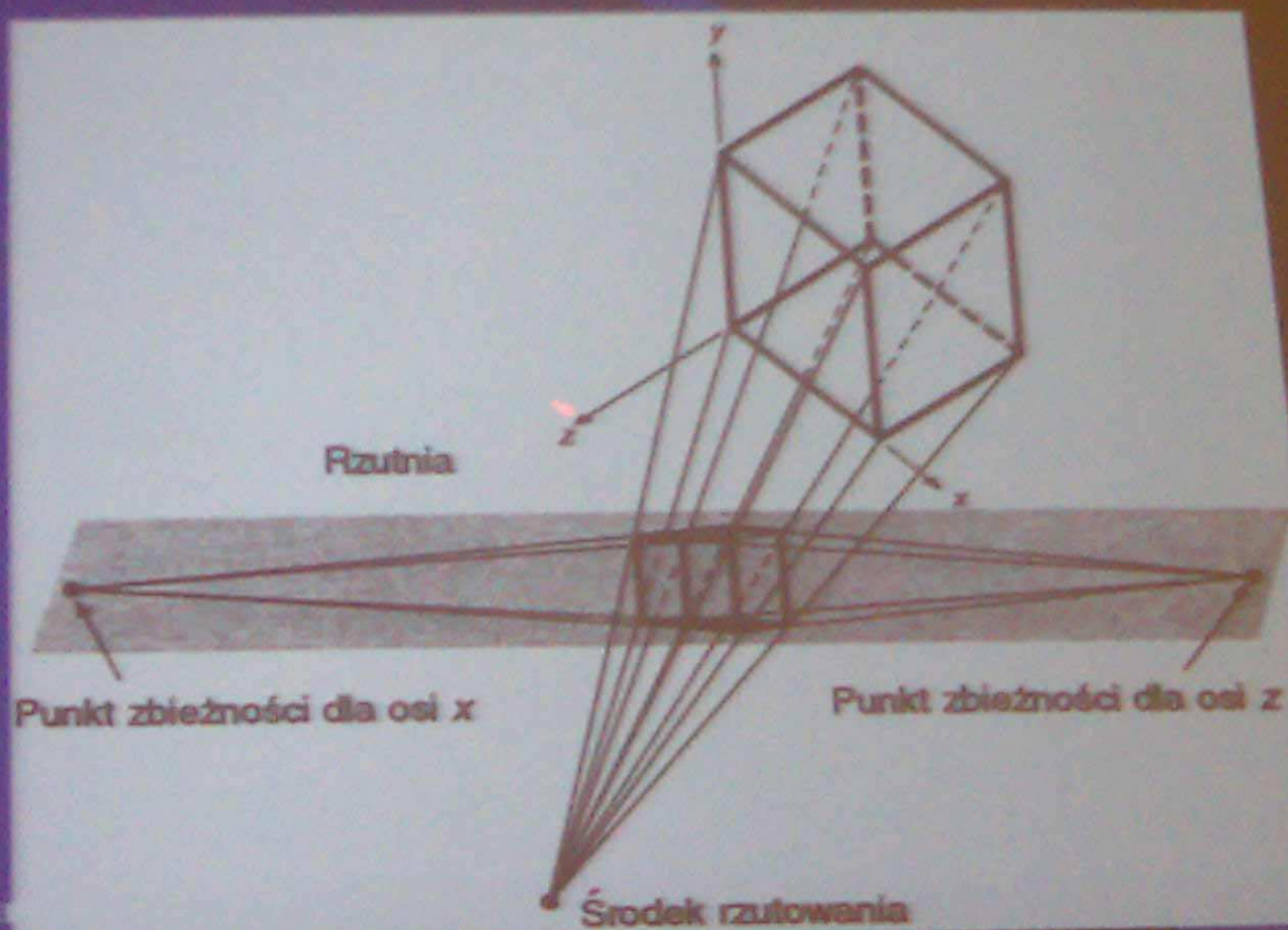
Jednopunktowy rzut perspektywiczny

- Punkt zbieżności linii równoległych do osi Z
- Punkt zbieżności może być traktowany jak widok linii równoległej do osi Z biegnącej od oka obserwatora

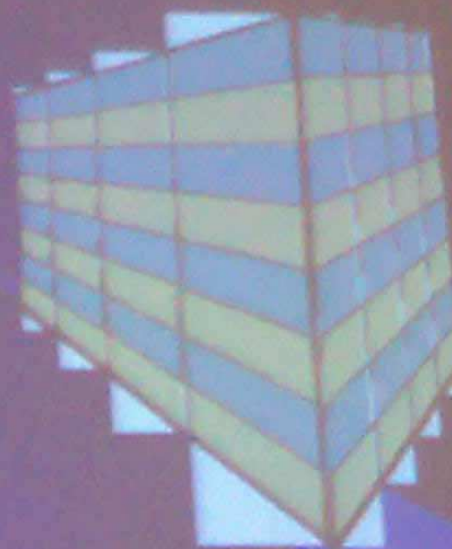
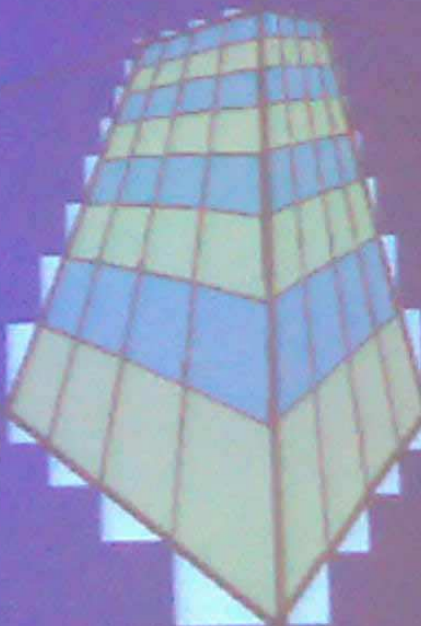


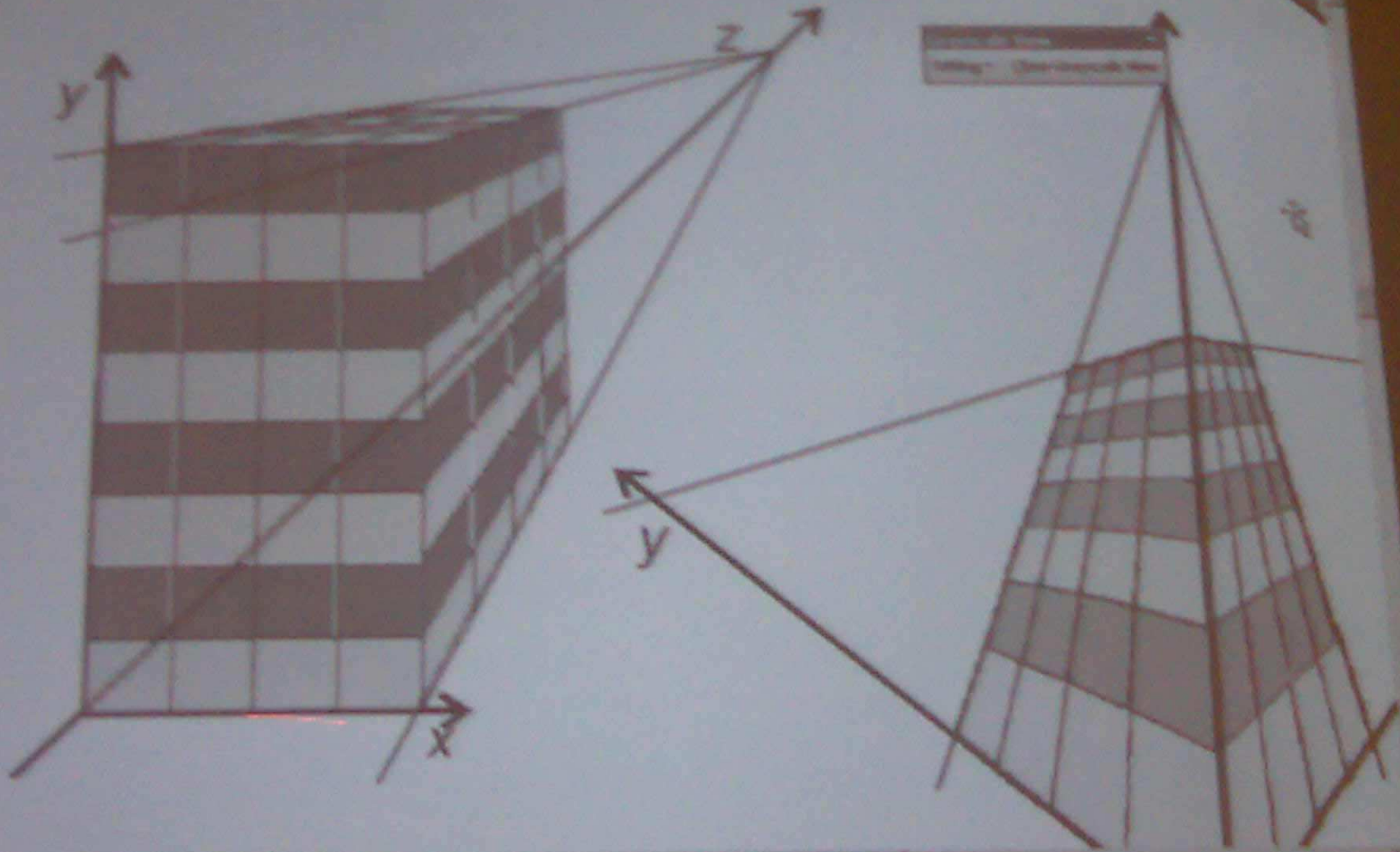
Rzuty perspektywiczne dwupunktowe

- Na linii horyzontu znajdują się dwa punkty zbieżności dla prostych równoległych do osi x i osi z
- Oś pionowa, bez punktu zbieżności

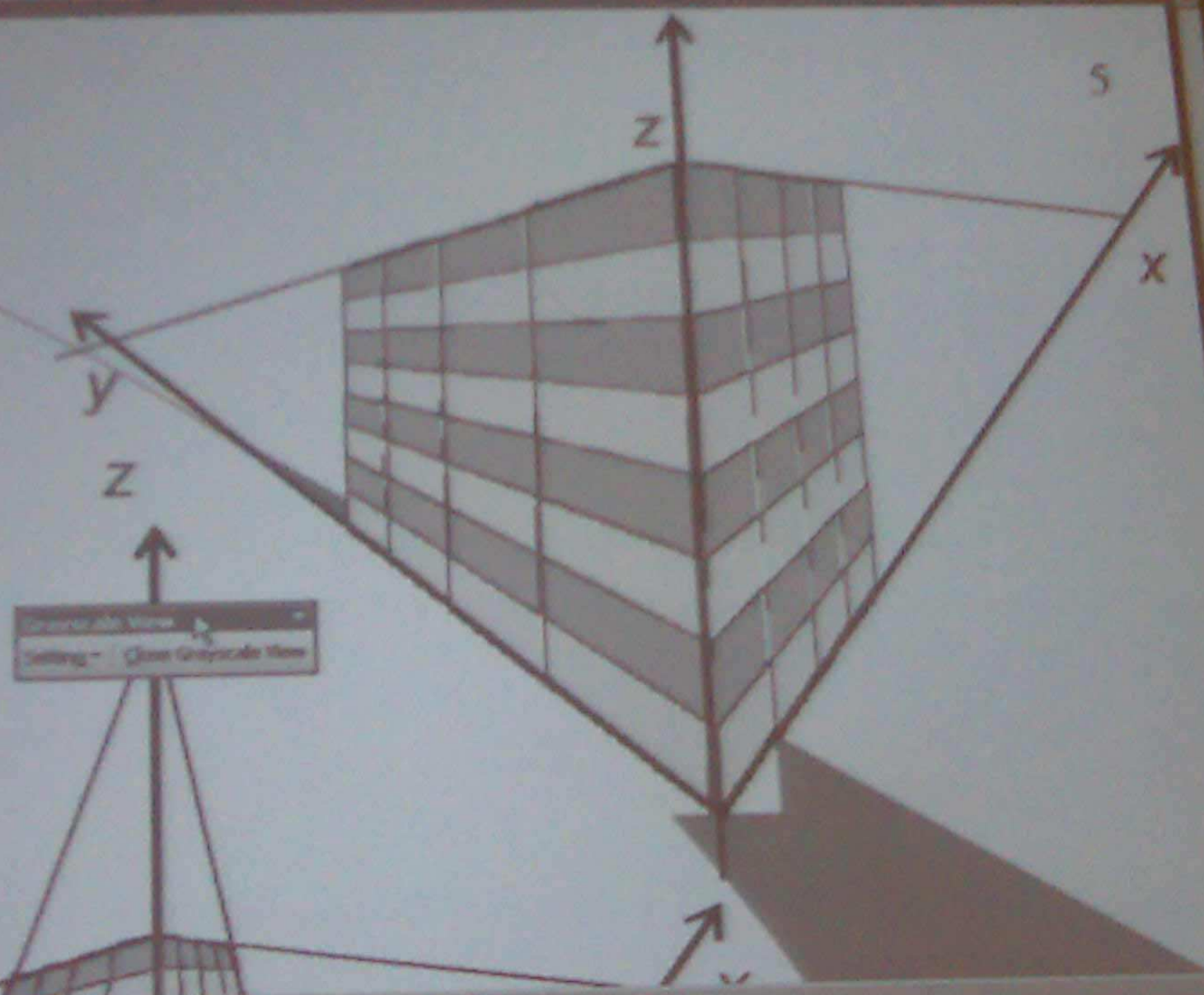


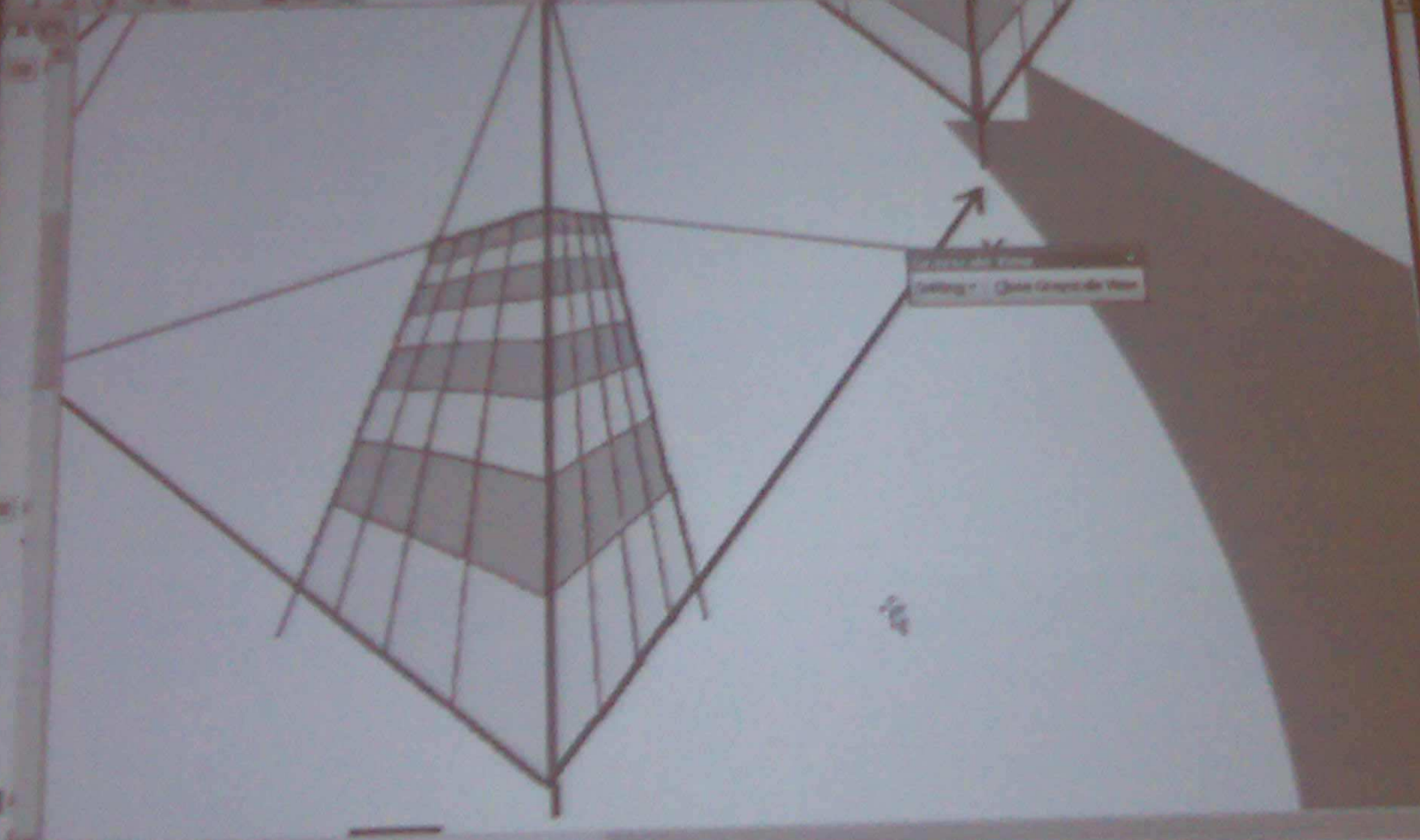
Rzuty perspektywiczne





viczne





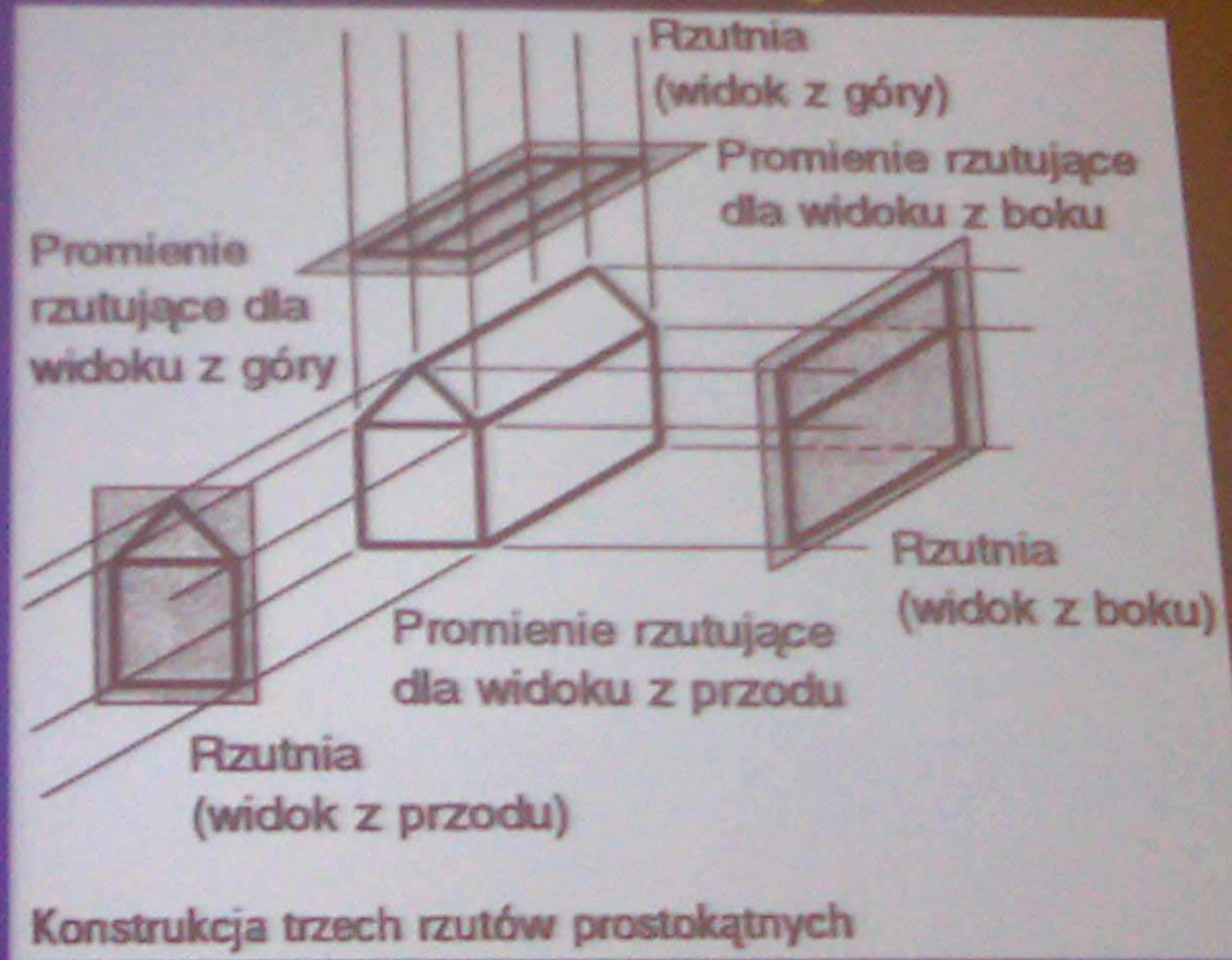
Rzuty równoległe prostokątne

Rzuty równoległe

- Prostokątne
 - Przedni
 - Górny
 - Boczny
 - Aksonometryczny
- Ukosne

Zachowuje

- równoległość prostych
- Stosunek długości odcinków równoległych

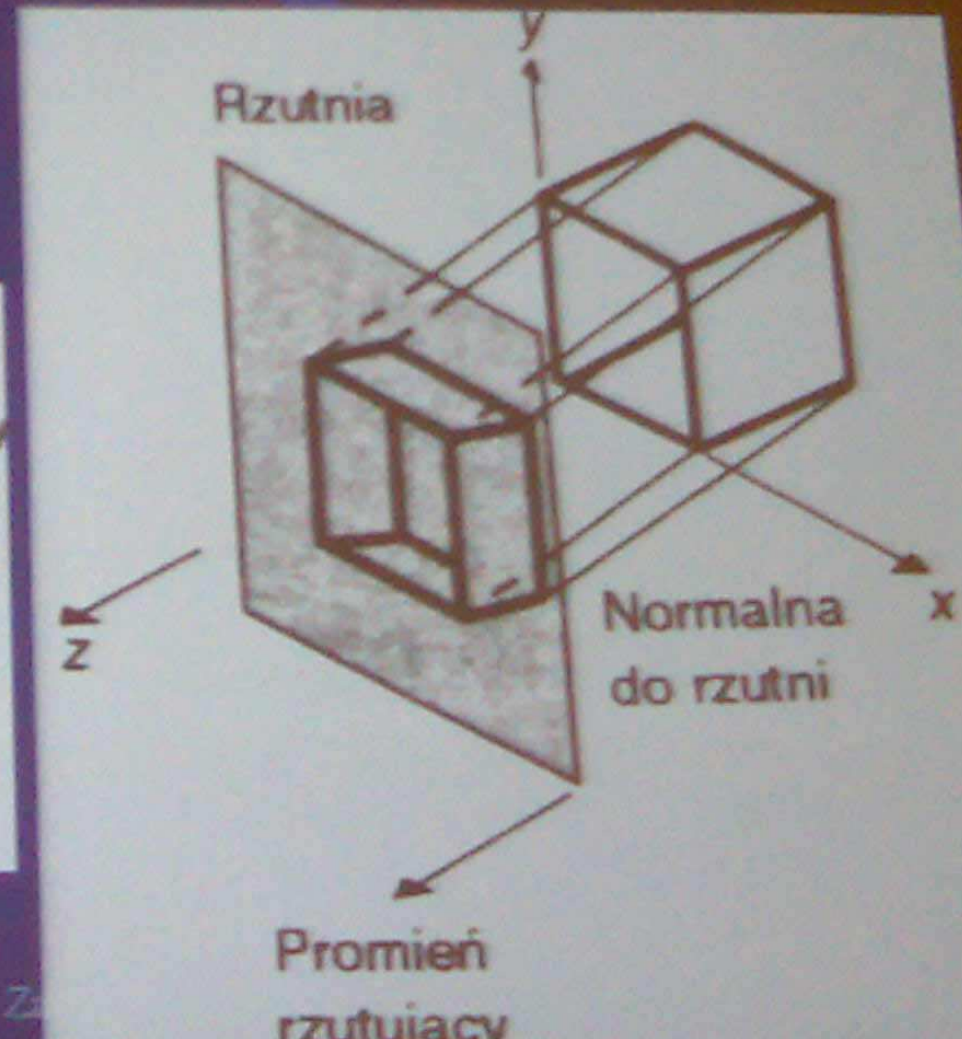
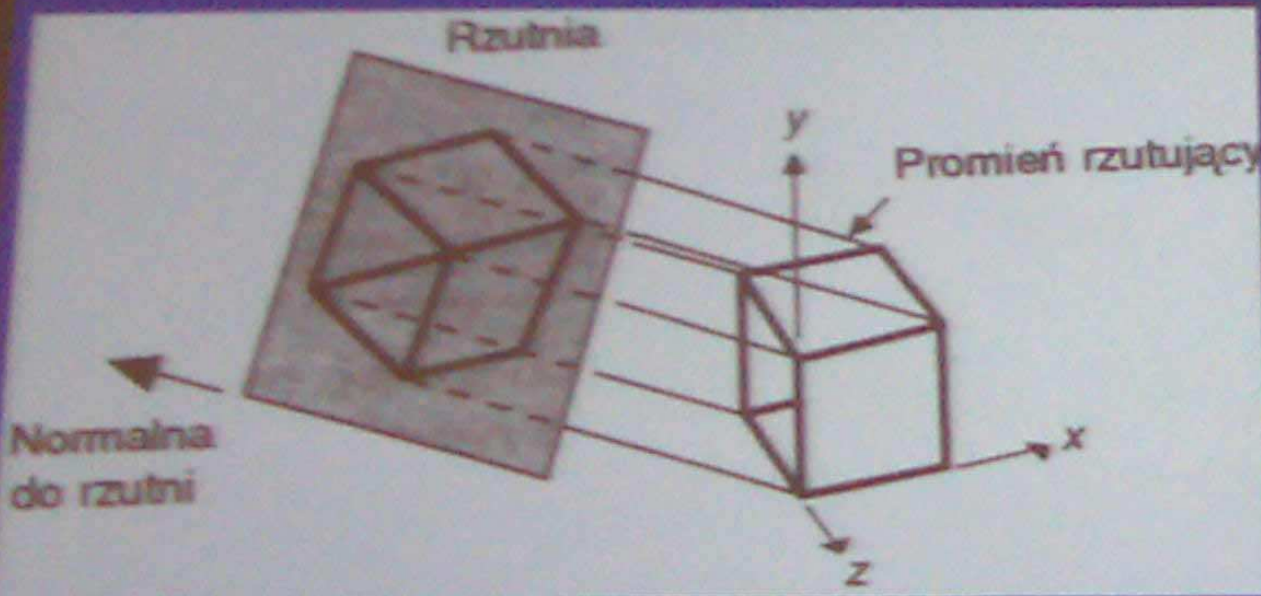


Rzuty równoległe (2)

Rzuty prostokątny aksometryczny
(rzutnia nie jest prostopadła do osi głównej)

- Rzut izometryczny
 - normalna do rzutni tworzy identyczne kąty z osiami układu współrzędnych

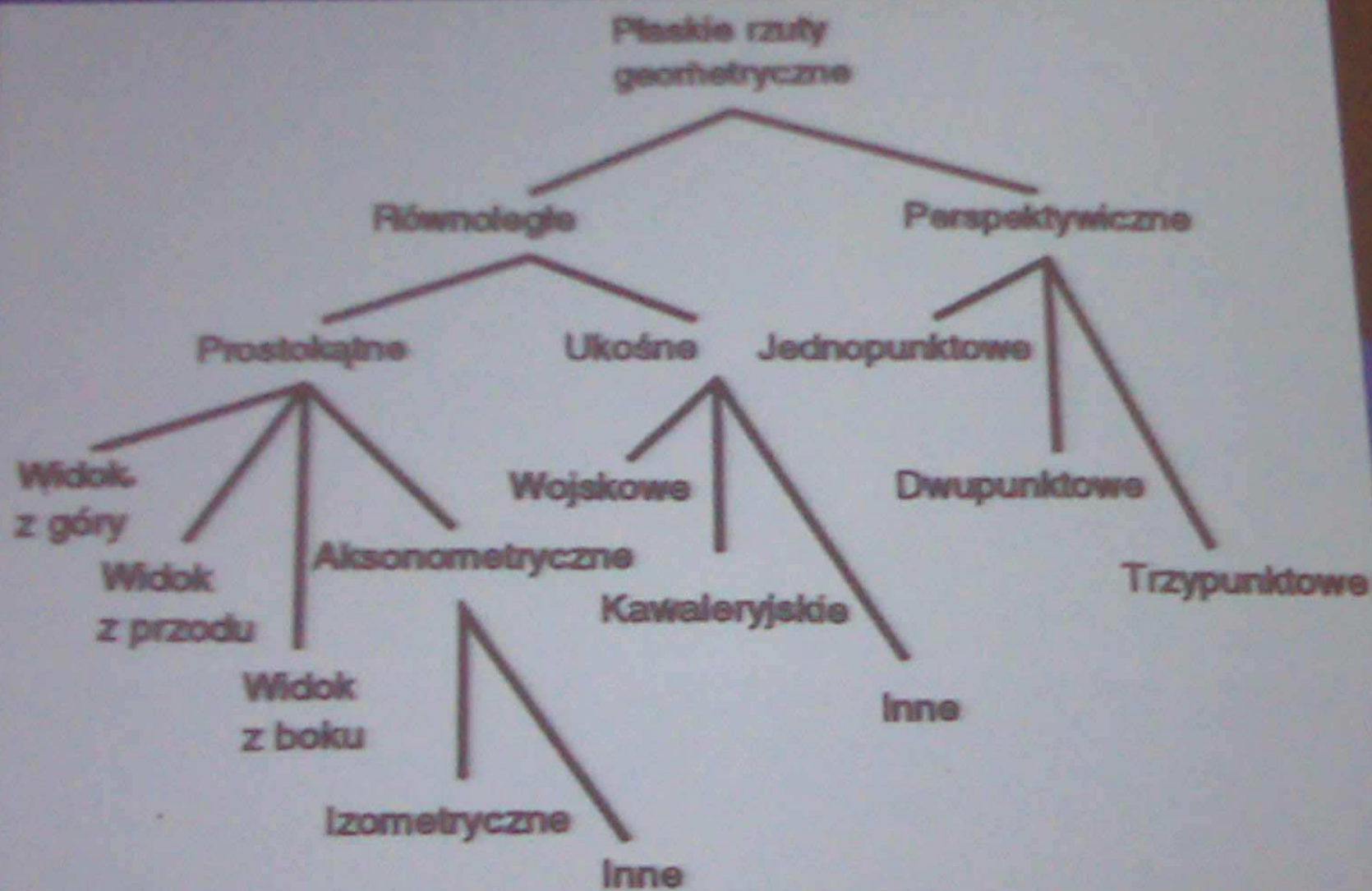
Rzut ukośny



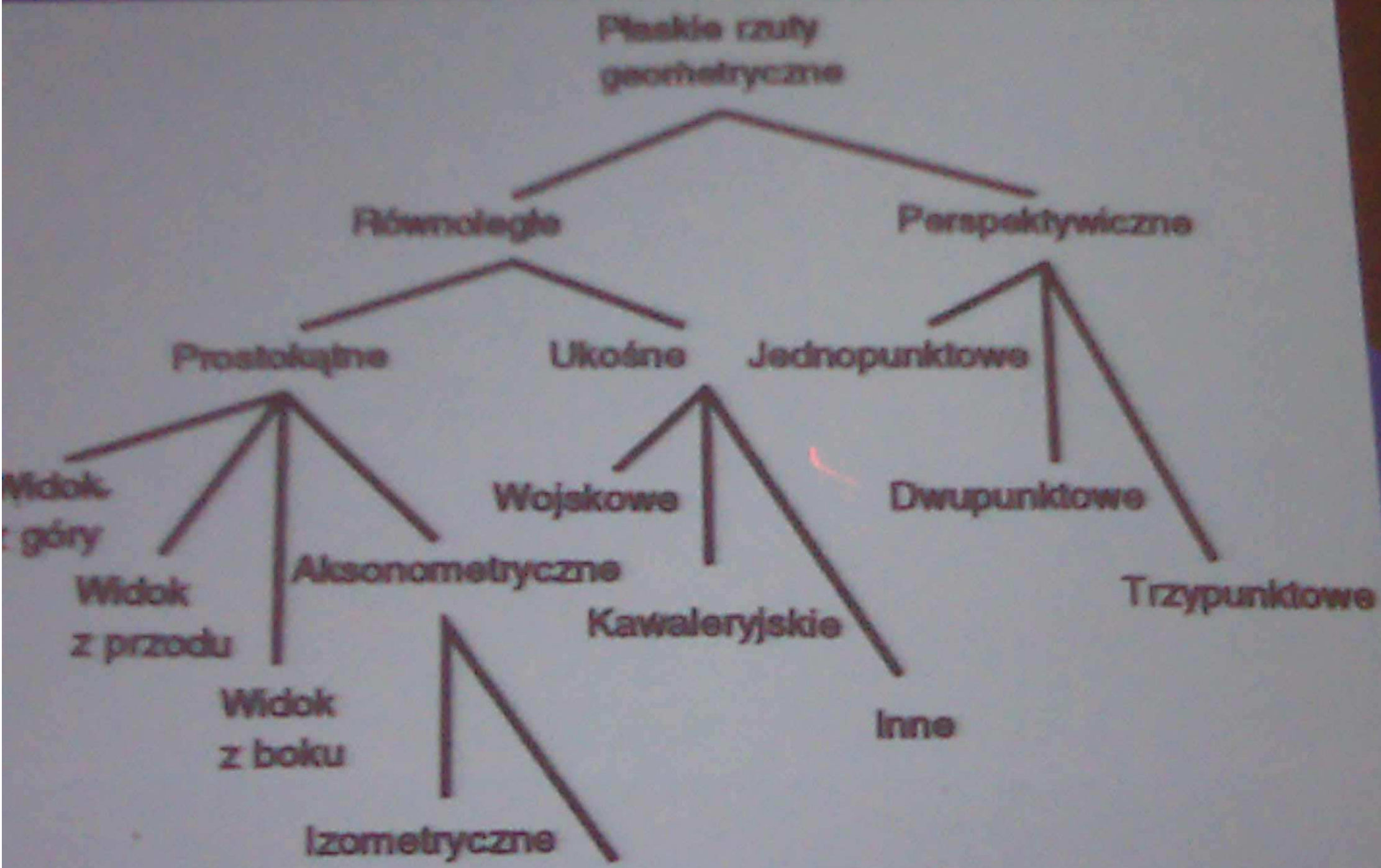
Konstrukcja rzutu izometrycznego dla sześcianu jednostkowego



Klasyfikacja rzutów



Klasyfikacja rzutów

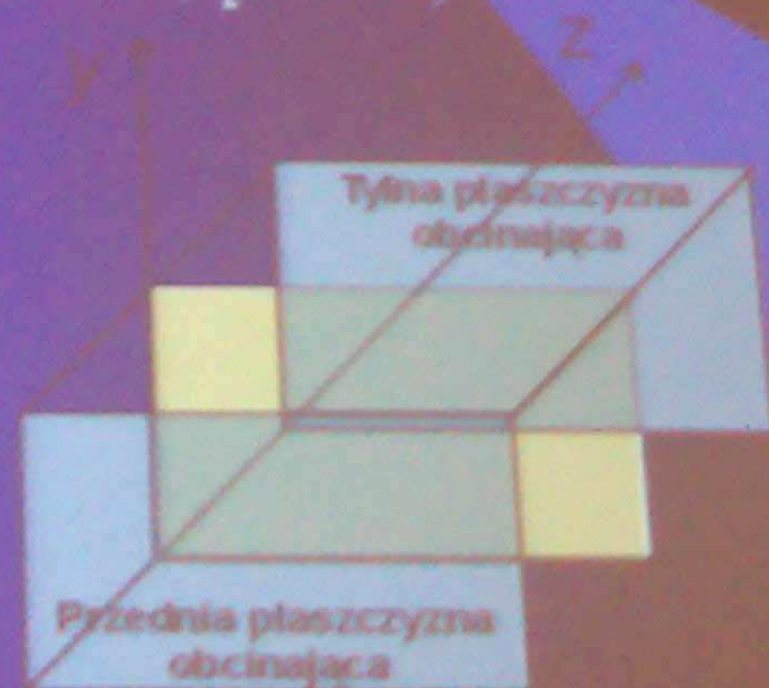


Bryła widzenia

Stożek widzenia, piramida widzenia

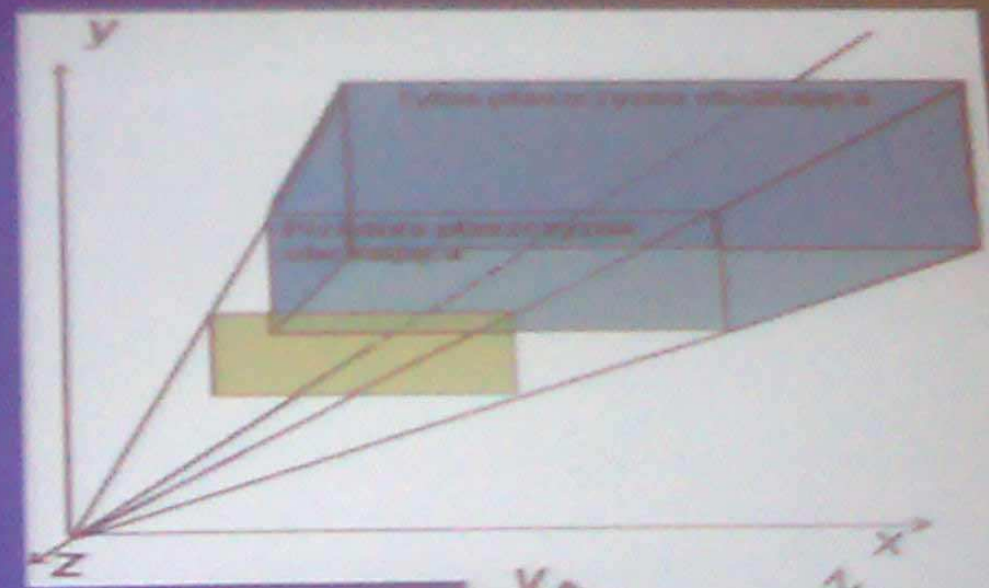
- Przednia płaszczyzna obcinania
 - Płaszczyzna rzutowania
 - Ekran (obcinanie góra, dół, lewo, prawo)
- Tylna płaszczyzna obcinania

W rzucie równoległym bryła widzenia jest równoległobok



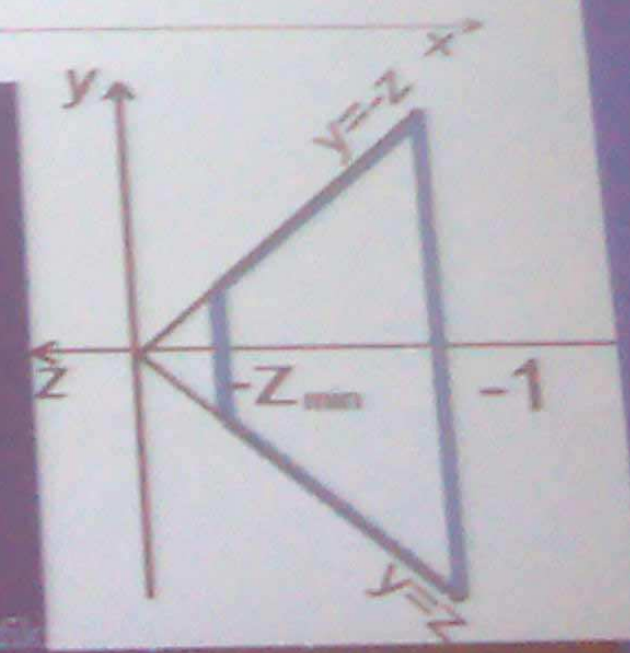
Bryła widzenia dla rzutu perspektywicznego

Punkt zbieżności
(oko obserwatora)
Obcinanie przez bryłę
widzenia

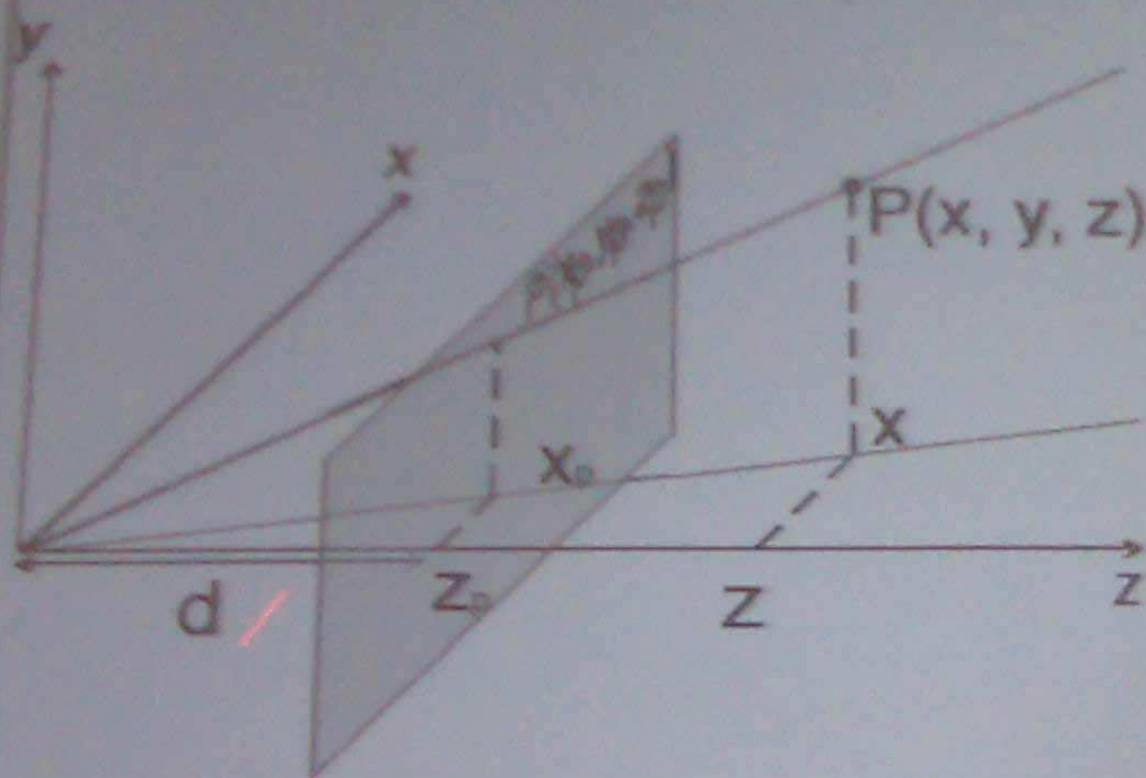


Kanoniczne bryły widzenia

- Rzut równoległy
 $x = -1, x = 1, y = -1, y = 1, z = 0, z = -1$
- Rzut perspektywiczny
 $x = z, x = -z, y = z, y = -z, z = z_{min}, z = -1$



Przekształcenia macierzowe rzutu



$$\frac{x_p}{d} = \frac{x}{z} \quad \frac{y_p}{d} = \frac{y}{z}$$

$$x_p = \frac{x}{z} \cdot d \quad y_p = \frac{y}{z} \cdot d$$

$$\begin{bmatrix} X \\ Y \\ Z \\ W \end{bmatrix} = M_{pr} \cdot P = \begin{bmatrix} 1 & 0 & 0 & 0 \\ 0 & 1 & 0 & 0 \\ 0 & 0 & 1 & 0 \\ 0 & 0 & \frac{1}{d} & 0 \end{bmatrix} \cdot \begin{bmatrix} x \\ y \\ z \\ 1 \end{bmatrix} = \begin{bmatrix} X \\ Y \\ Z \\ \frac{z}{d} \end{bmatrix}$$

Po normalizacji (tak by $W = 1$)

$$\begin{bmatrix} \frac{x}{z/d} \\ \frac{y}{z/d} \\ \frac{z}{z/d} = d \\ 1 \end{bmatrix}$$

1

Reprezentacja brył i powierzchni

- modelowanie istniejących obiektów
 - dobrze znany wygląd obiektu
 - brak jednoznacznego (matematycznego) opisu powierzchni
 - wymaganie nieskończenie wiele punktów do opisu
 - *Aproksymacja* obiektu
- obiekty nierzeczywiste
 - swoboda w reprezentacji obiektu

Podstawowe reprezentacje powierzchni

- Siatki wielokątowe
- Powierzchnie parametryczne
- Powierzchnie drugiego stopnia

Siatki wielokątowe

Siatka wielokątowa to zbiór, połączonych płaskich powierzchni ograniczonych przez łamane zamknięte.

- Reprezentacja obiektów
- Powierzchnie krzywoliniowe reprezentowane jedynie z pewnym przybliżeniem

Reprezentacja siatek wielokątowych

- Reprezentacja bezpośrednia

$$P = (V_1, V_2, \dots, V_n) = ((x_1, y_1, z_1), (x_2, y_2, z_2), \dots, (x_n, y_n, z_n))$$

- Wskaźniki na listę wierzchołków

$$V = (V_1, V_2, \dots, V_n)$$

$$P_1 = (1, 2, 4); P_2 = (4, 2, 3)$$

- Lista krawędzi wielokąta

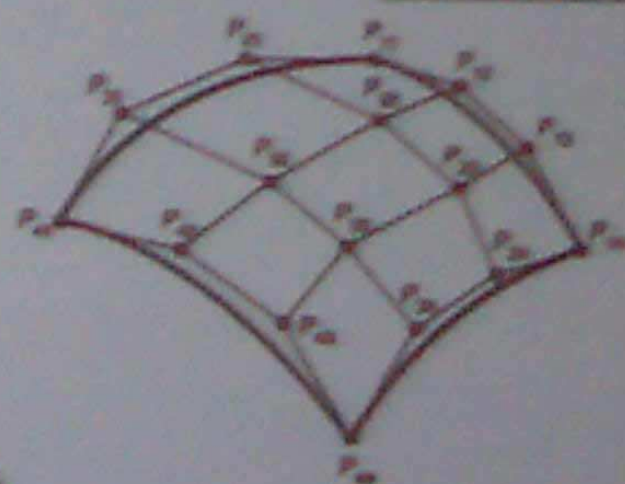
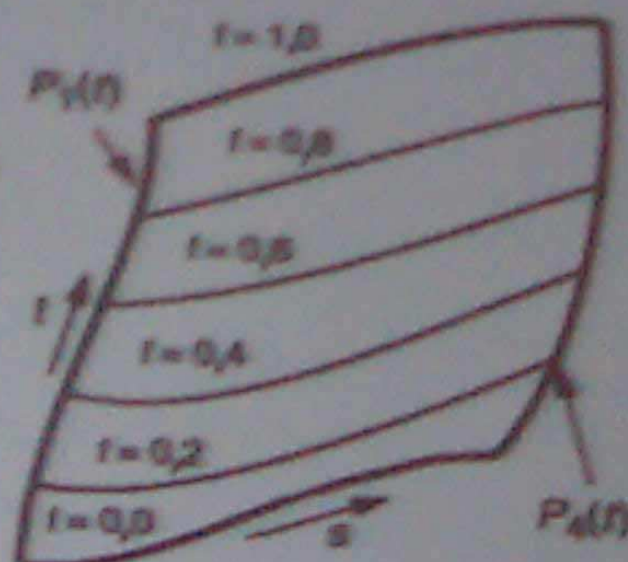
$$V = (V_1, V_2, \dots, V_n)$$

$$E_1 = (V_1, V_2, P_1, P_2); E_2 = (V_2, V_3, P_2, \mathbf{0}); \dots$$

$$P_1 = (E_1, E_4, E_5); P_2 = (E_2, E_3, E_4);$$

Powierzchnie parametryczne

- Wielomianowe krzywe parametryczne trzeciego stopnia
- $Q(t) = (f_x(t), f_y(t), f_z(t))$
- Dobór współczynników
- Parametryczne wielomianowe płaty powierzchni
 - Współrzędne punktu powierzchni określane są poprzez dwa parametry
 - $Q(s, t) = (f_x(s, t), f_y(s, t), f_z(s, t))$
 - Brzegi są krzywymi parametrycznymi



Powierzchnie drugiego stopnia

$$F(x,y,z)=0$$

Jeśli $f(x,y,z)$ jest wielomianem drugiego stopnia, to
Mówimy o powierzchniach drugiego stopnia.

$$f(x,y,z) = ax^2 + by^2 + cz^2 + 2dxy + 2eyz + 2fxz + 2gx + 2hy + 2jz + k$$

$$P^T \bullet Q \bullet P = 0$$

$$Q = \begin{bmatrix} a & d & f & g \\ d & b & e & h \\ f & e & c & j \\ g & h & j & k \end{bmatrix} \quad P = \begin{bmatrix} x \\ y \\ z \\ 1 \end{bmatrix}$$

Powierzchnie drugiego stopnia(cd)

Zalety reprezentacji

- Obliczanie normalnej do powierzchni
- Testowanie czy punkt leży na powierzchni
- Łatwe obliczanie z dla danych współrzędnych punktu (x, y)
- Obliczanie przecięcia jednej powierzchni z drugą

Zadanie

Wiedząc, że powierzchnia drugiego stopnia opisana jest równaniem macierzowym $P^T \cdot Q \cdot P = 0$,

Jaka bryła reprezentowana jest dla

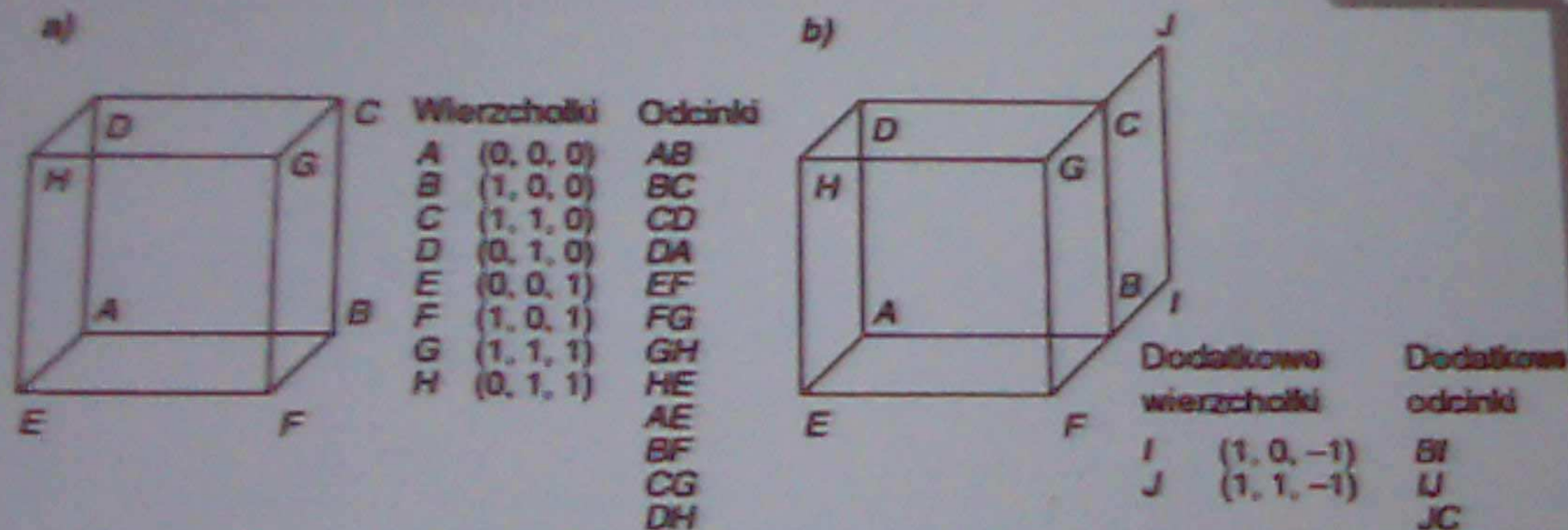
$$Q = \begin{bmatrix} 1 & 0 & 0 & 0 \\ 0 & 1 & 0 & 0 \\ 0 & 0 & 1 & 0 \\ 0 & 0 & 0 & -1 \end{bmatrix}$$



Reprezentacja brył

Jeśli powierzchnie 3D opisują brzeg zamkniętego obszaru (o określonej objętości) mówimy o *modelowaniu brył*

- Wnętrze obiektu
- Kolizje obiektów
- Modelowanie własności fizycznych itp.



Własności dobrej reprezentacji brył

- *Domena reprezentacji* – możliwość przedstawienie możliwie wielu obiektów fizycznych
- *Niedwuznaczność, kompletność* – wiemy dokładnie co jest reprezentowane
- *Unikatowość* umożliwia kodowanie dowolnej bryły tylko w jeden sposób (sprawdzanie czy dwa obiekty są równe)
- *Dokładność* – reprezentacja bez przybliżania
- *Poprawność* – tylko prawidłowe obiekty
- *Domknięcie* – operacje na poprawnych bryłach powinny dawać poprawne bryły (obrotu, skalowania i inne np. operacje boolowskie)
- *Zwartość, oszczędność i efektywność*

Bryły – operacje boolowskie

Zbiór operacji boolowskich

- Suma
- Różnica
- Przecięcie

W wyniku tych operacji mogą powstać bryły, odcinki punkty.

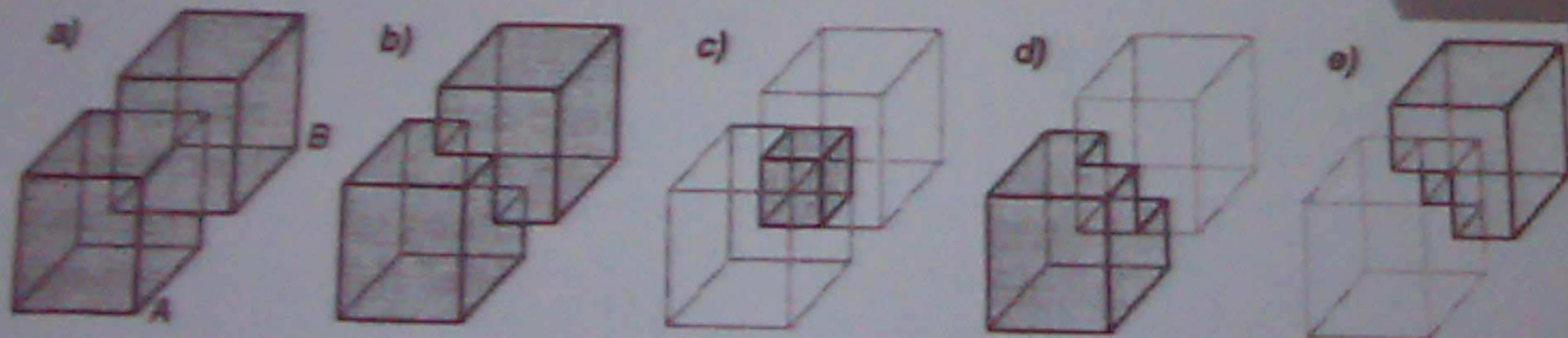


Are you sure to power off ?
Press <Power> again to power off

Regularyzowanie

wykonywanie

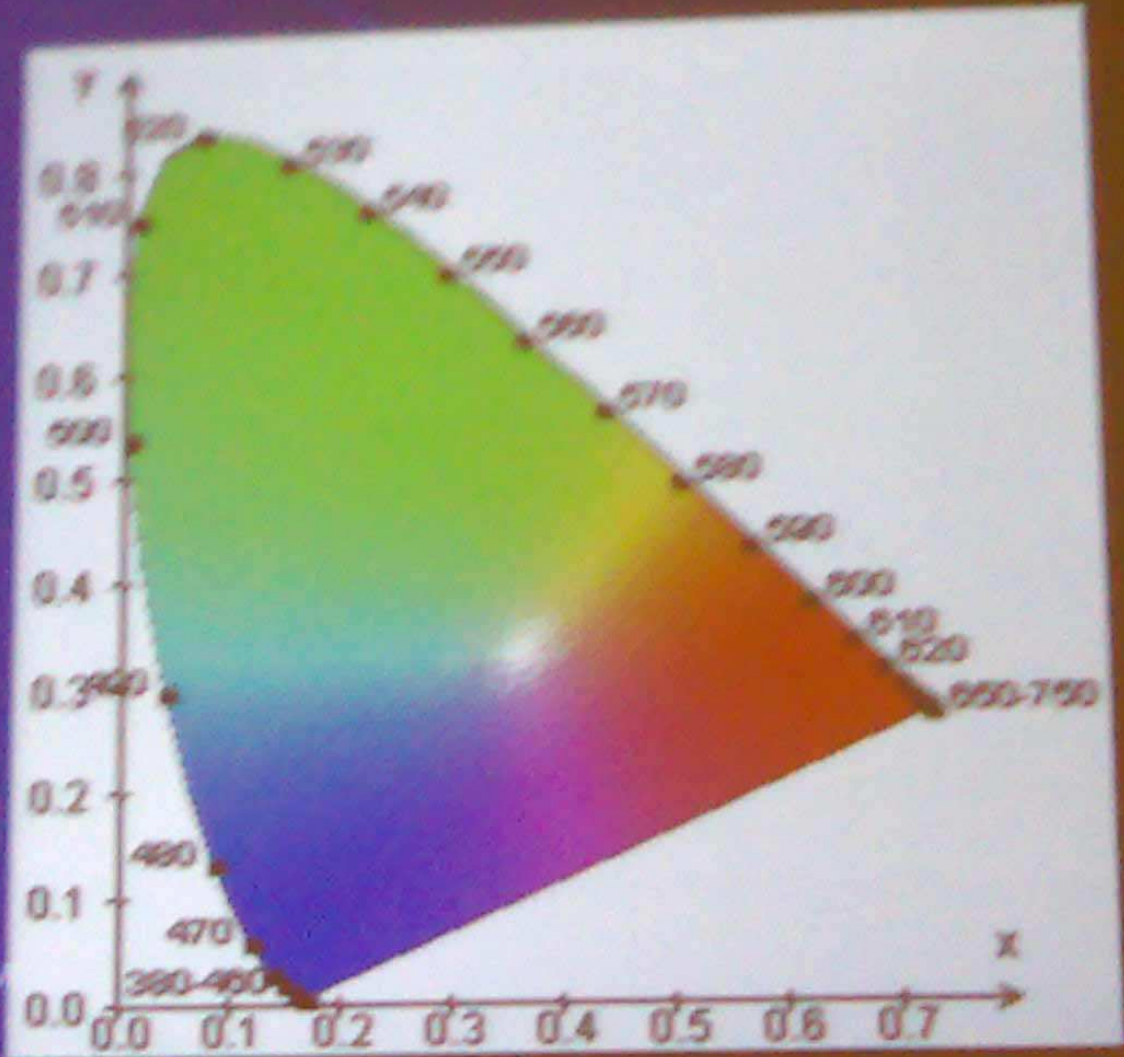
operacji na bryłach daje bryłę.



Wykres chromatyczności Międzynarodowej Komisji Oświetlenia CIE

Fikcyjne barwy podstawowe
X, Y, Z umożliwiają
określenie wszystkich
barw widzialnych

Summary Informacyjka P. 14



Inne modele barw

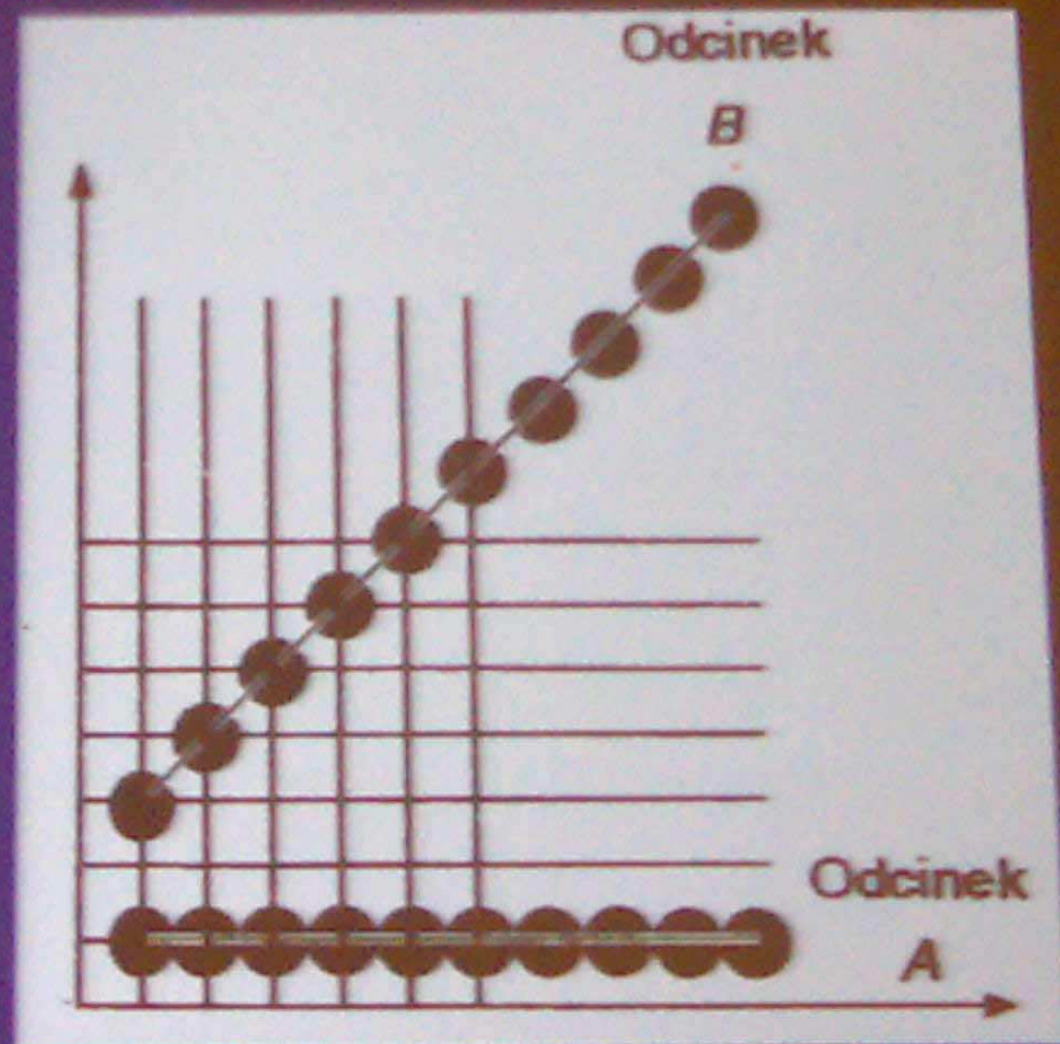
- Modele telewizyjne YIQ, YUV
- Modele percepcyjnie równoważne
 - CIE $L^*u^*v^*$ – dla urządzeń emitujących
 - CIE $L^*a^*b^*$ – dla określenia koloru obiektu (światło odbite)
- *Profil urządzenia* (ICC) określa sposób przeliczania barwy z modelu odniesienia (np. Lab CIE) do modelu urządzenia

Inne modele barw

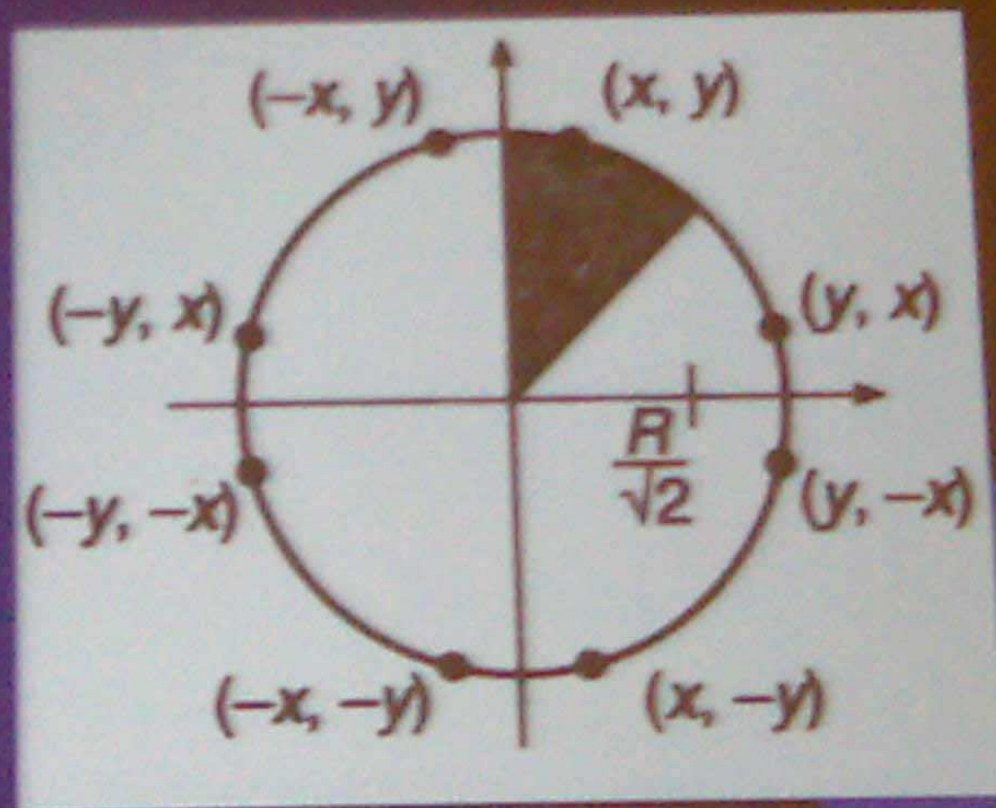
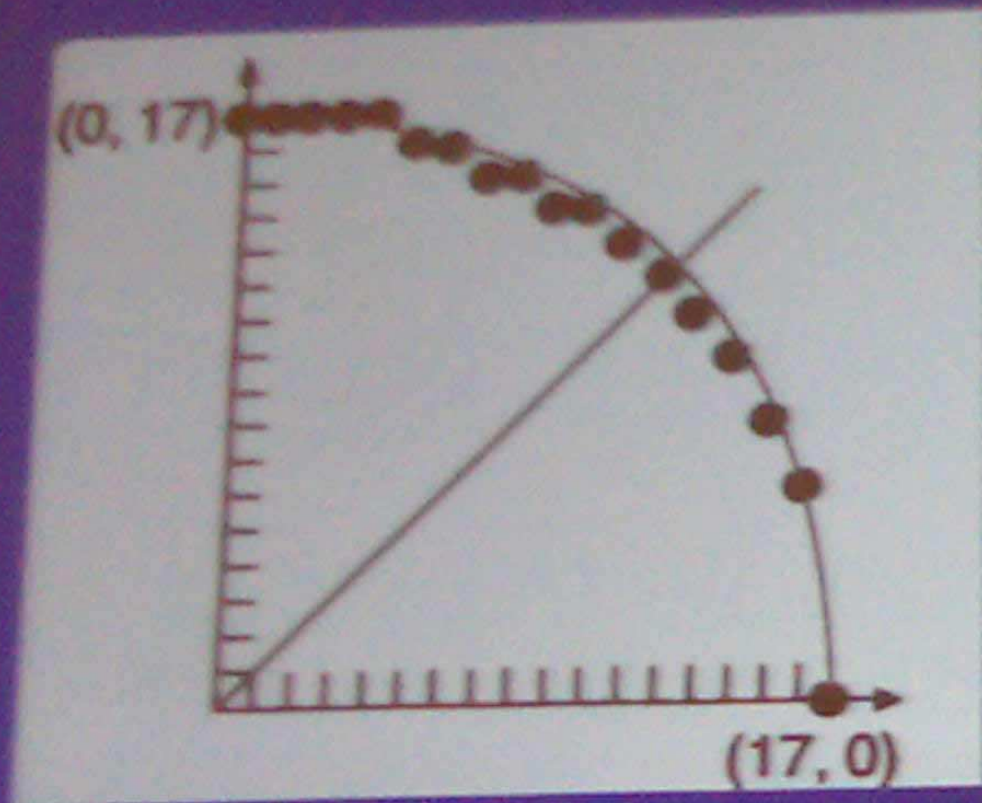
- Modele telewizyjne YIQ, YUV
- Modele percepcyjnie równoważne
 - CIE $L^*u^*v^*$ – dla urządzeń emitujących
 - CIE $L^*a^*b^*$ – dla określenia koloru obiektu (światło odbite)
- *Profil urządzenia (ICC)* określa sposób przeliczania barwy z modelu odniesienia (np. Lab CIE) do modelu urządzenia

Problemy

- kierunek rysowania
- obcinanie
- jasność odcinka
- łamane



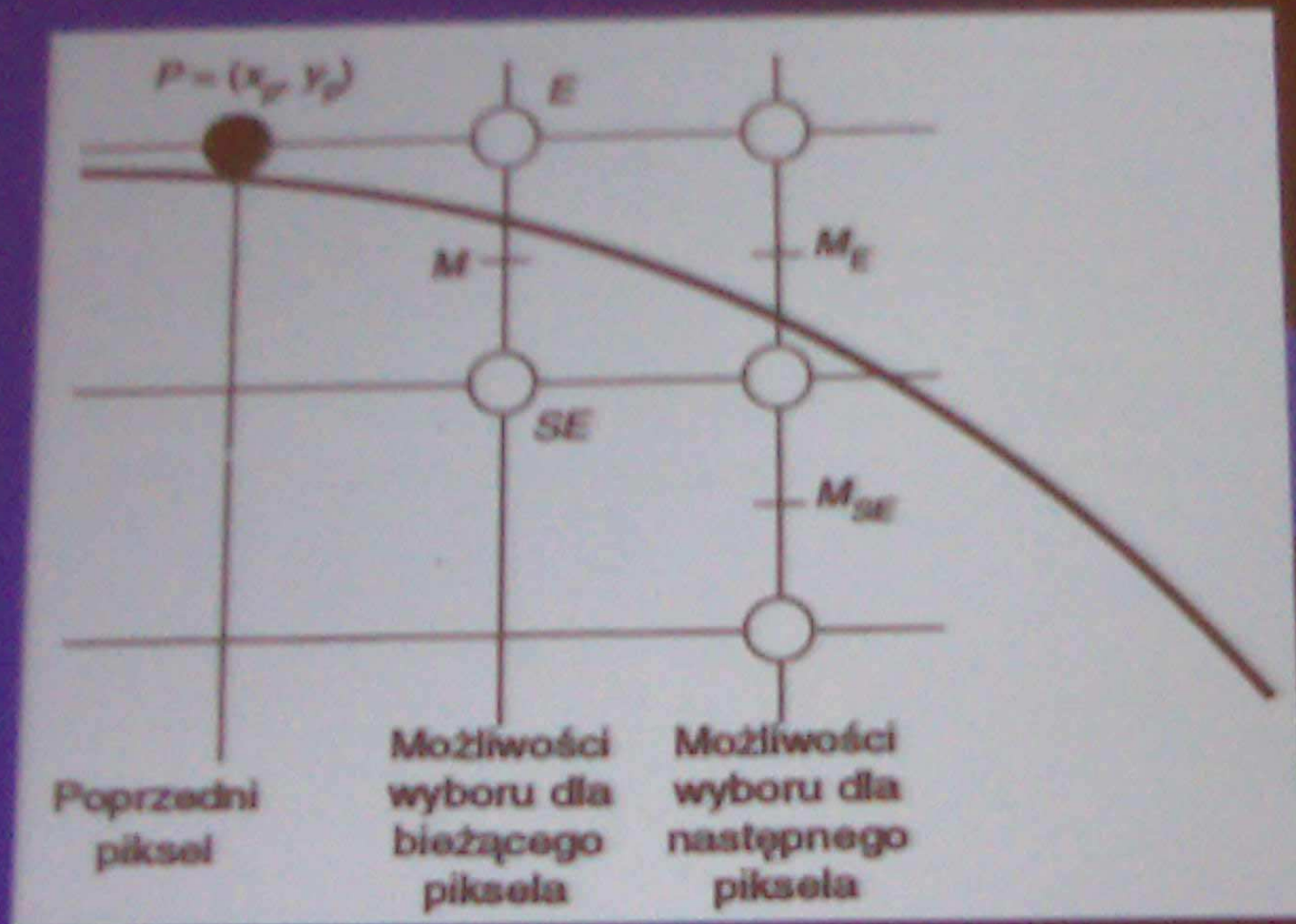
Rysowanie okręgów (1)



$$x^2 + y^2 = R^2$$

$$y = \pm \sqrt{x^2 - R^2}$$

Rysowanie okręgów (2)



$$F(x,y) = x^2 + y^2 - R^2$$

Obliczanie zmiennych decyzyjnych (1)

$$d = F(M) = F(x_p + 1, y_p - 1/2) \\ = (x_p + 1)^2 + (y_p - 1/2)^2 - R^2$$

Jeśli \bar{E} (to M przesuwamy się w prawo o 1)

$$d_{\text{new}} = F(x_p + 2, y_p - 1/2) \\ = (x_p + 2)^2 + (y_p - 1/2)^2 - R^2 \\ = (x_p^2 + 4x_p + 4) + (y_p - 1/2)^2 - R^2 \\ = (x_p^2 + 2x_p + 1) + 2x_p + 3 + (y_p - 1/2)^2 - R^2 \\ = \underline{(x_p + 1)^2} + 2x_p + 3 + \underline{(y_p - 1/2)^2} - \underline{R^2} + \\ = d + 2x_p + 3$$

Obliczanie zmiennych decyzyjnych (2)

Jesli SE (to M przesuwamy się w prawo o 1 i w dół o 1)

$$\begin{aligned}
 d_{\text{new}} &= F(x_p + 2, y_p - 3/2) \\
 &= (x_p + 2)^2 + (y_p - 3/2)^2 - R^2 \\
 &= (x_p^2 + 4x_p + 4) + (y_p^2 - 3y_p + 9/4) - R^2 \\
 &= (x_p + 1)^2 + 2x_p + 3 + (y_p^2 - y_p + 1/4) - 2y_p + 8/4 - R^2 \\
 &= \underline{(x_p + 1)^2 + 2x_p + 3} + \underline{(y_p - 1/2)^2} - 2y_p + 2 - R^2 \\
 &= d + 2x_p - 2y_p + 5
 \end{aligned}$$

Obliczenia wartości startowych

- Punkt startu $(x_p, y_p) = (0, R)$

$$\begin{aligned}d &= F(x_p + 1, y_p - 1/2) = F(1, R - 1/2) \\&= 1^2 + (R - 1/2)^2 - R^2 \\&= 1^2 + (R^2 - R + 1/4) - R^2 \\&= 5/4 - R\end{aligned}$$

void MidCircle(int R)

```

{ int x, y;
  float d;
  x = 0;
  y = R;
  d = 5.0 / 4 - R;
  CirclePoints(x, y);
  while (y > x) {
    if (d < 0) { /* piksel E */
      d += x * 2.0 + 3;
      x++;
    } else { /* piksel SE */
      d += (x - y) * 2.0 + 5;
      x++;
      y--;
    }
    CirclePoints(x, y);
  }
}

```

void MidCircle(int R)

```

{ int x, y;
  float d;
  x = 0;
  y = R;
  d = 5.0 / 4 - R;
  CirclePoints(x, y);
  while (y > x)
  {
    if (d < 0) { // piksel E +/-
      d += x * 2.0 + 3;
      x++;
    } else { // piksel SE +/-
      d += (x - y) * 2.0 + 5;
      x++;
      y--;
    }
    CirclePoints(x, y);
  }
}

```

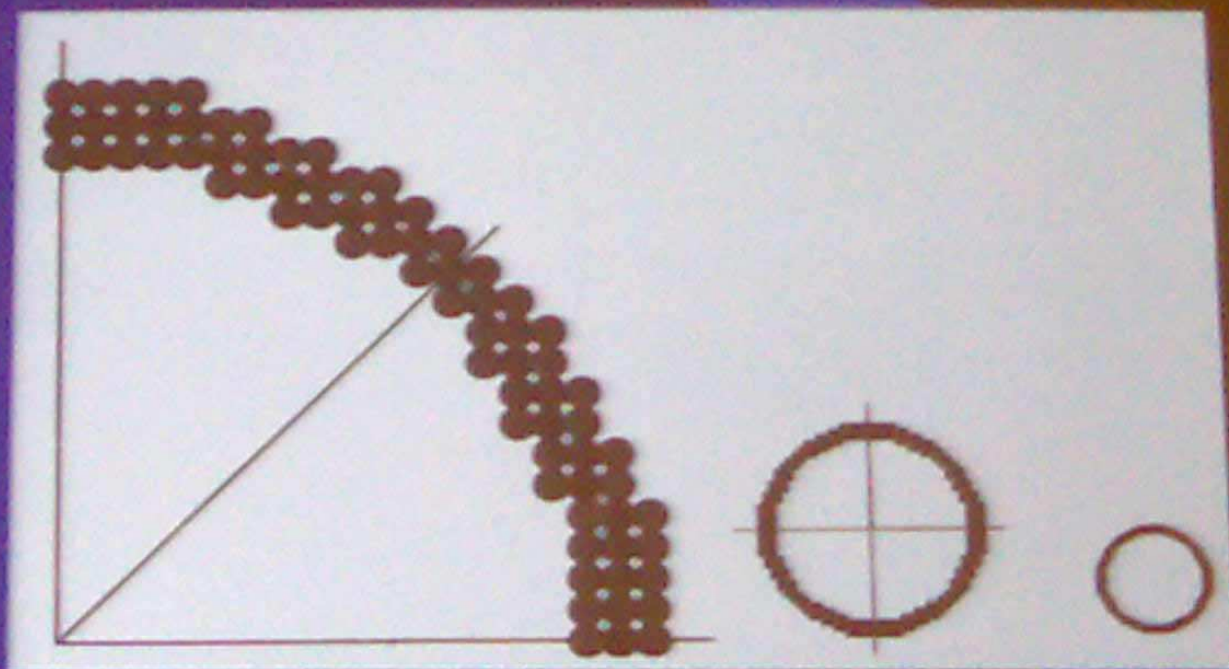
Rysowanie okręgów

Modyfikacje algorytmu

- zmiana środka okręgu
- aspekt monitora

Inne zagadnienia

- kierunek rysowania
- pogrubianie linii
- styl linii



Przykład

Narysować okrąg o środku w punkcie (0,0) i promieniu R = 6;

$$d = 5/4 - 24/4 = -19/4$$

(0,6) $d < 0$ to E

$$d = d - 2x - 3 = -19/4 - 12/4 = -7/4$$

$$x = 1$$

(1,6) $d < 0$ to E

$$d = -7/4 - 8/4 - 12/4 = 13/4$$

$$x = 2$$

(2,6) $d > 0$ to SE

$$d = d - 2(x-y) - 5 = 13/4 - 32/4 - 20/4 = 1/4$$

$$x = 3; y = 5$$

(3,5) $d > 0$ to SE

$$d = 1/4 - 8/4 - 20/4 = 13/4$$

$$x = 4; y = 4$$

(4,4)



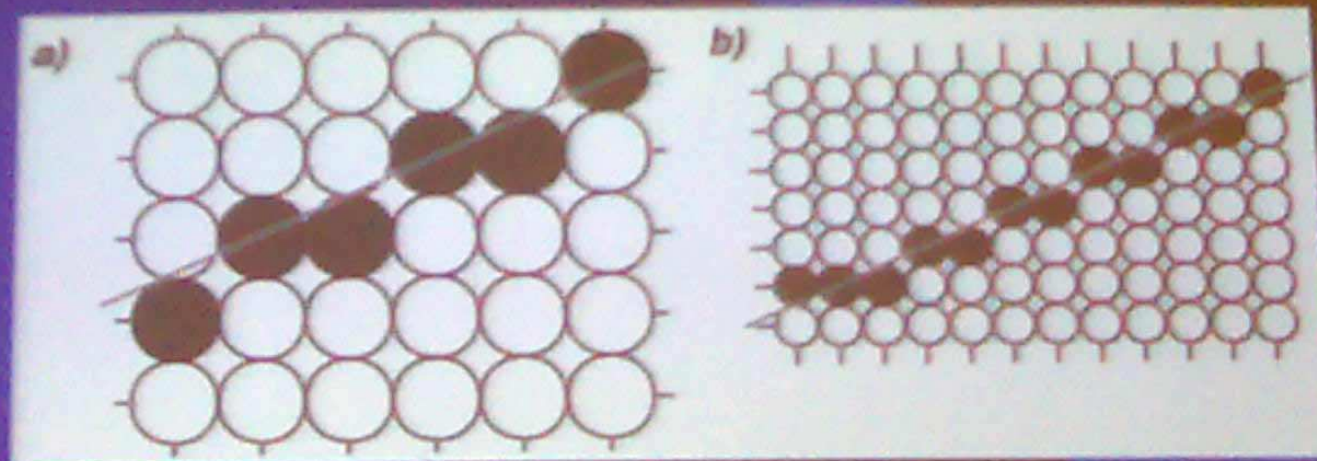
Usuwanie zakłóceń

Rysowanie w przestrzeni dyskretnej powoduje powstanie w obrazie zakłóceń (*Aliasing*)

Metody odklócania (*Antyaliasing*)

- zwiększenie rozdzielczości

- Zwiększenie rozmiaru pamięci obrazu



- Zwiększenie czasu rysowania prymitywu
- Zwiększenie pasma pamięci i pasma monitora

Sprawy organizacyjne

Krzysztof Gracki

kgracki@ii.pw.edu.pl

tel. (22) 6605031

- regulamin przedmiotu
- kolokwia 7 XI, 19 XII
- egzamin 23 I
- ocena końcowa

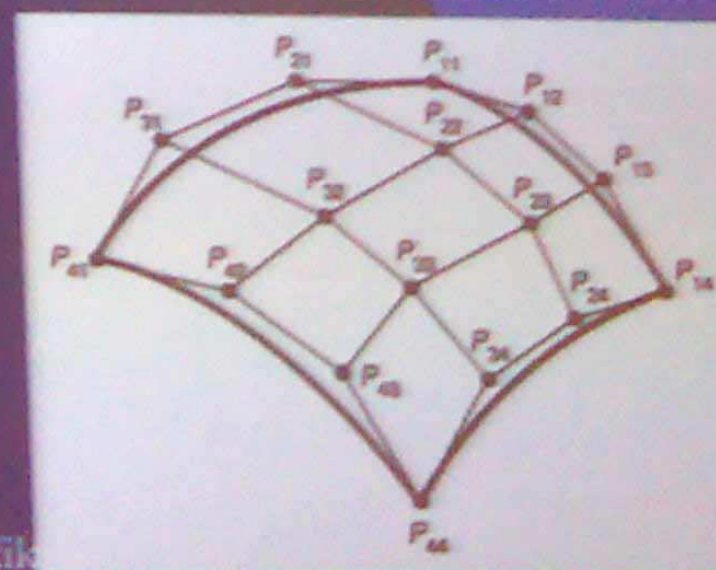
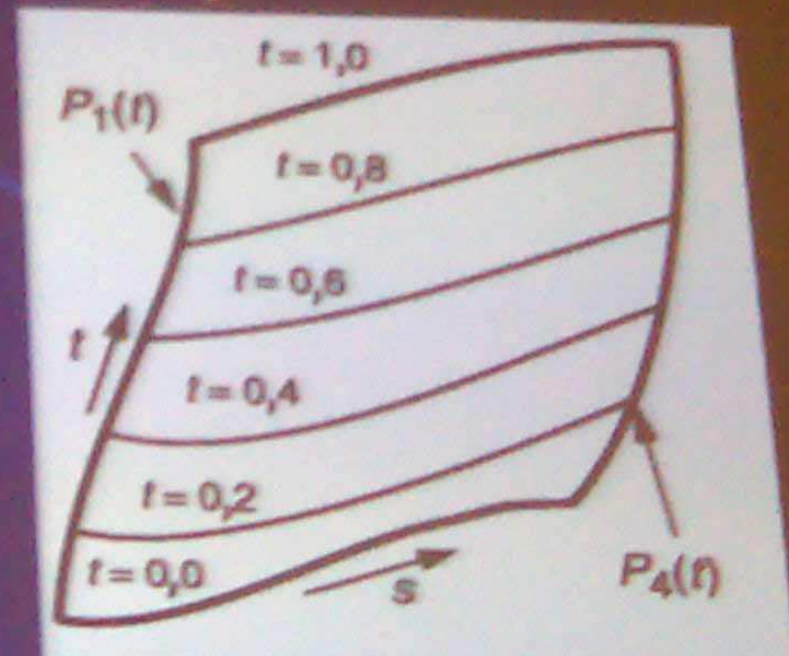
- Laboratorium
Zbigniew Szymanski
z.szymanski@ii.pw.edu.pl
- Regulamin
 - Corel
 - 3DStudioMax

Jakość obrazu a percepcja człowieka

- Człowiek jest w stanie rozróżniać szczegóły widziane w obrębie kąta o wartości około 1 minuty katowej.
- Dla typowej odległości obserwatora od ekranu monitora: około 0,5 metra, maksymalna sensowna rozdzielczość waha się w przedziale 100-200 punktów (pikseli) na centymetr
- Współczesne (standardowe) monitory mają 30-50 pkt/cm
- Monitory o rozdzielczości pikselowej 4096×3072 praktycznie zapewniają maksymalną jakość obrazu

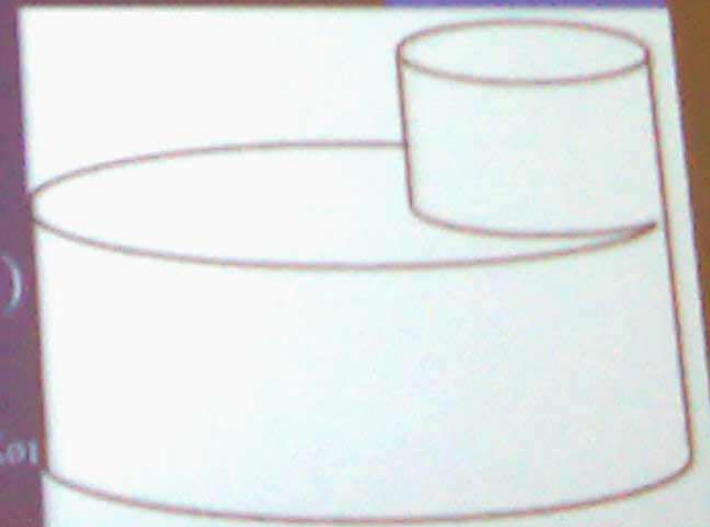
Powierzchnie parametryczne

- Wielomianowe krzywe parametryczne trzeciego stopnia
- $Q(t) = (f_x(t), f_y(t), f_z(t))$
- Dobór współczynników
- Parametryczne wielomianowe płyty powierzchni
 - Współrzędne punktu powierzchni określane są poprzez dwa parametry
 - $Q(s, t) = (f_x(s, t), f_y(s, t), f_z(s, t))$
 - Brzegi są krzywymi parametrycznymi



Sposoby reprezentacji brył

- Kopiowanie prymitywów
 - Systemy CAD
 - Biblioteki gotowych parametryzowanych elementów
 - Standardowe wymiary, normy
- Reprezentacje z przesuwaniem (zagarnianie przestrzeni)
 - Przesuwanie obiektu wzdłuż trajektorii
 - Przesunięcia obrotowe
 - Przesunięcia ogólne
- Reprezentacja brzegowa (b-rep)
 - Opis obiektu powierzchniami ograniczającymi
 - Powierzchnie płaskie (np. triangulacja)
 - Powierzchnie krzywoliniowe



Reguła Eulera

11

Wielościan prosty to taki, który da się przekształcić w kulę

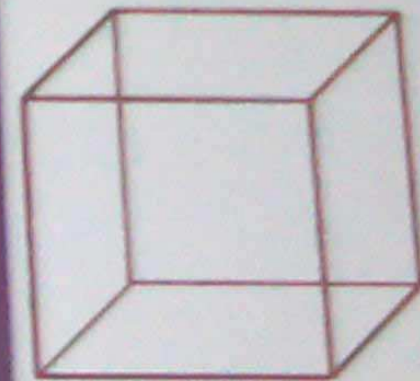
Reprezentacja brzegowa wielościanu prostego spełnia równanie Eulera

$$V - E + F = 2$$

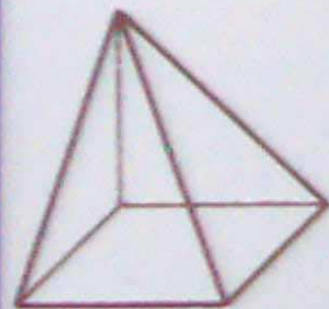
V - liczba wierzchołków

E - liczba krawędzi

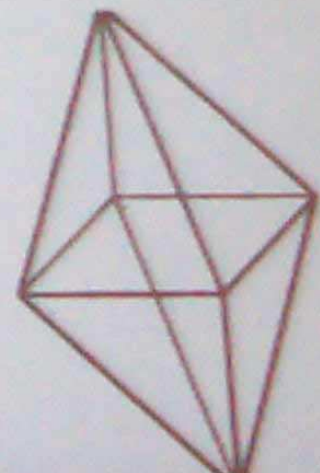
F - liczba ścian



$$\begin{aligned} V &= 8 \\ E &= 12 \\ F &= 6 \end{aligned}$$



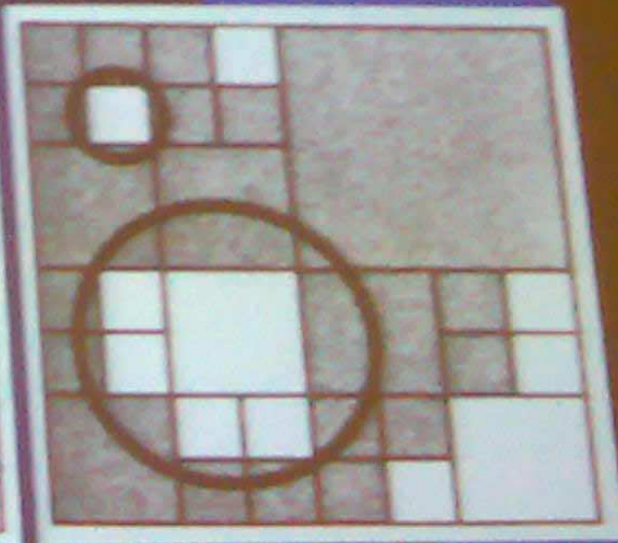
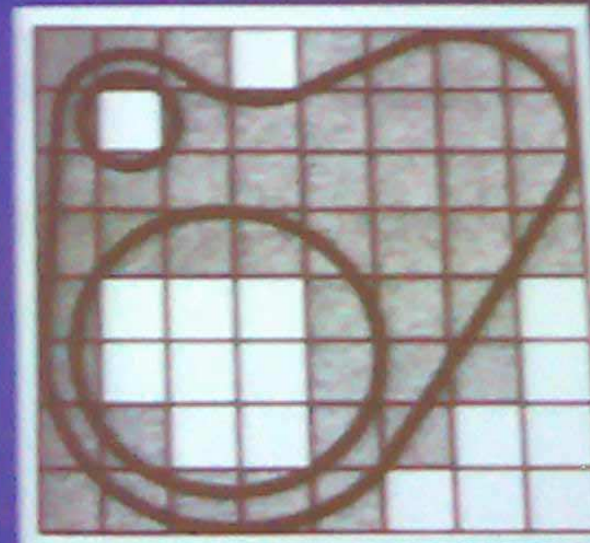
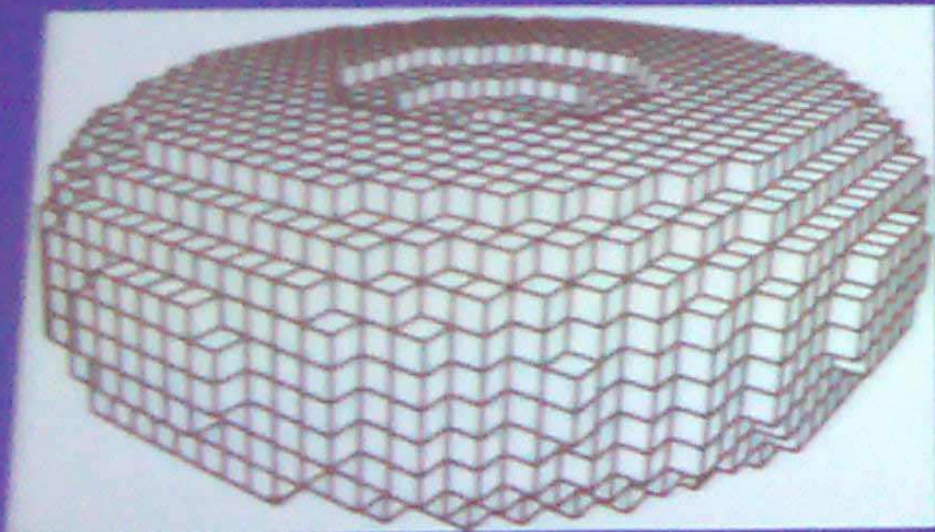
$$\begin{aligned} V &= 5 \\ E &= 8 \\ F &= 5 \end{aligned}$$



$$\begin{aligned} V &= 6 \\ E &= 12 \\ F &= 8 \end{aligned}$$

Sposoby reprezentacji brył (c.d.)

- Reprezentacja z podziałem przestrzennym
Bryła jest dekomponowana na zbiór prostszych nie przecinających się brył.
 - Dekompozycja na przylegające komórki
 - Reprezentacja wokselowa (identyczne komórki)
 - Drzewa ósemkowe



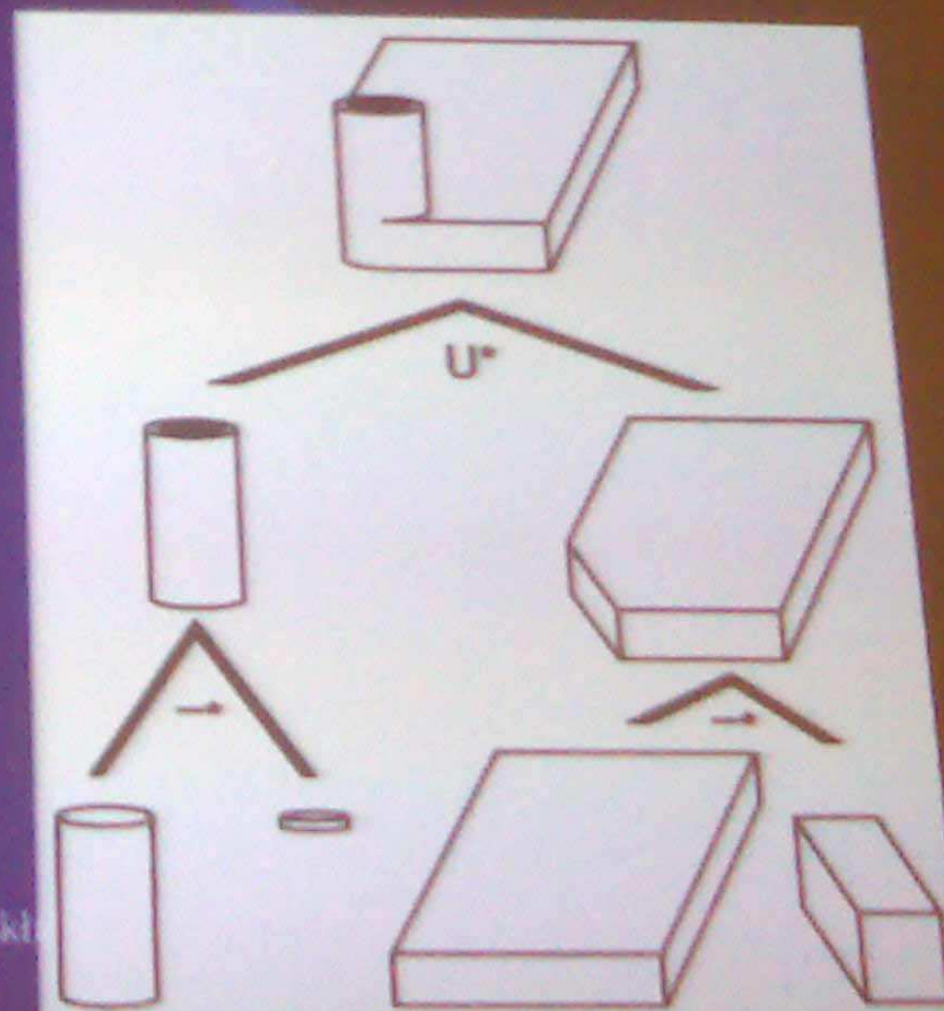
Sposoby reprezentacji brył (c.d.)

- Konstruktywna geometria brył (CSG)

Łączenie prostych prymitywów za pomocą regularyzowanych operatorów boolowskich (włączonych do reprezentacji)

- Inne

- Metakule
- Systemy cząstek
- Modele fraktalne
- L-Systemy



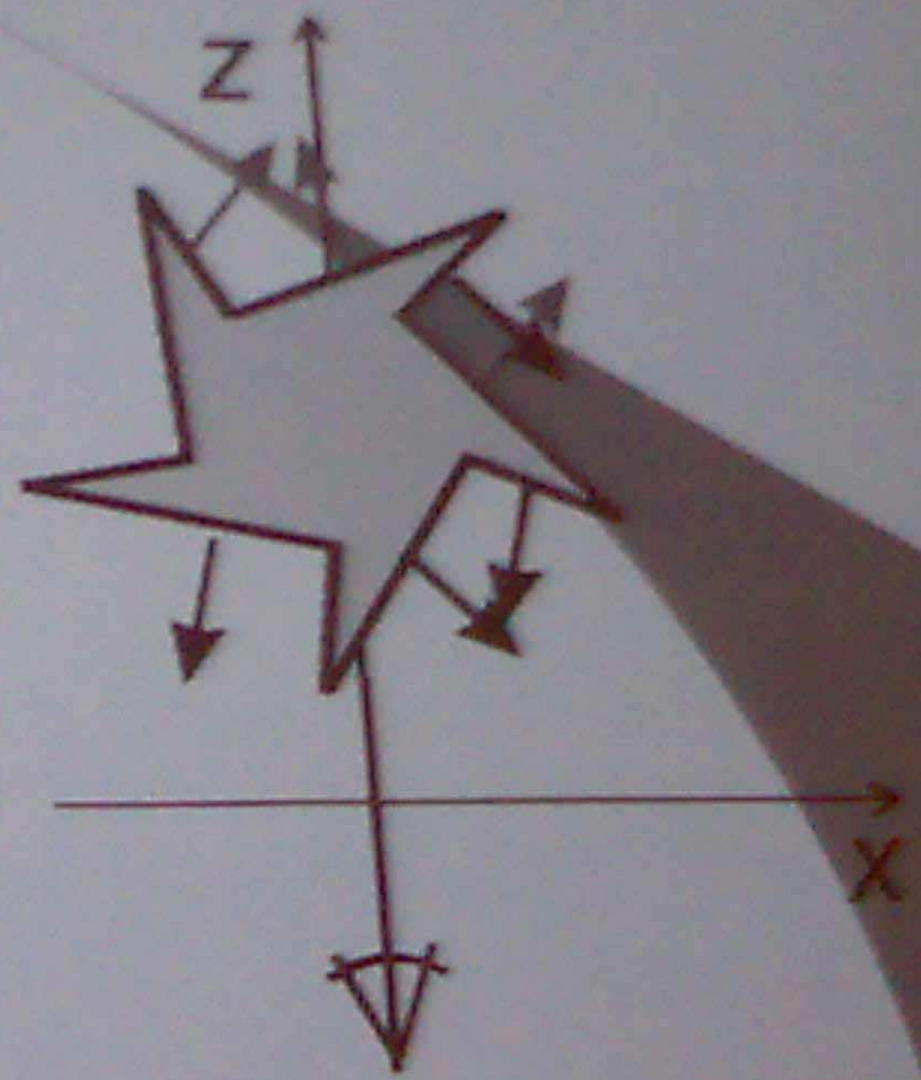
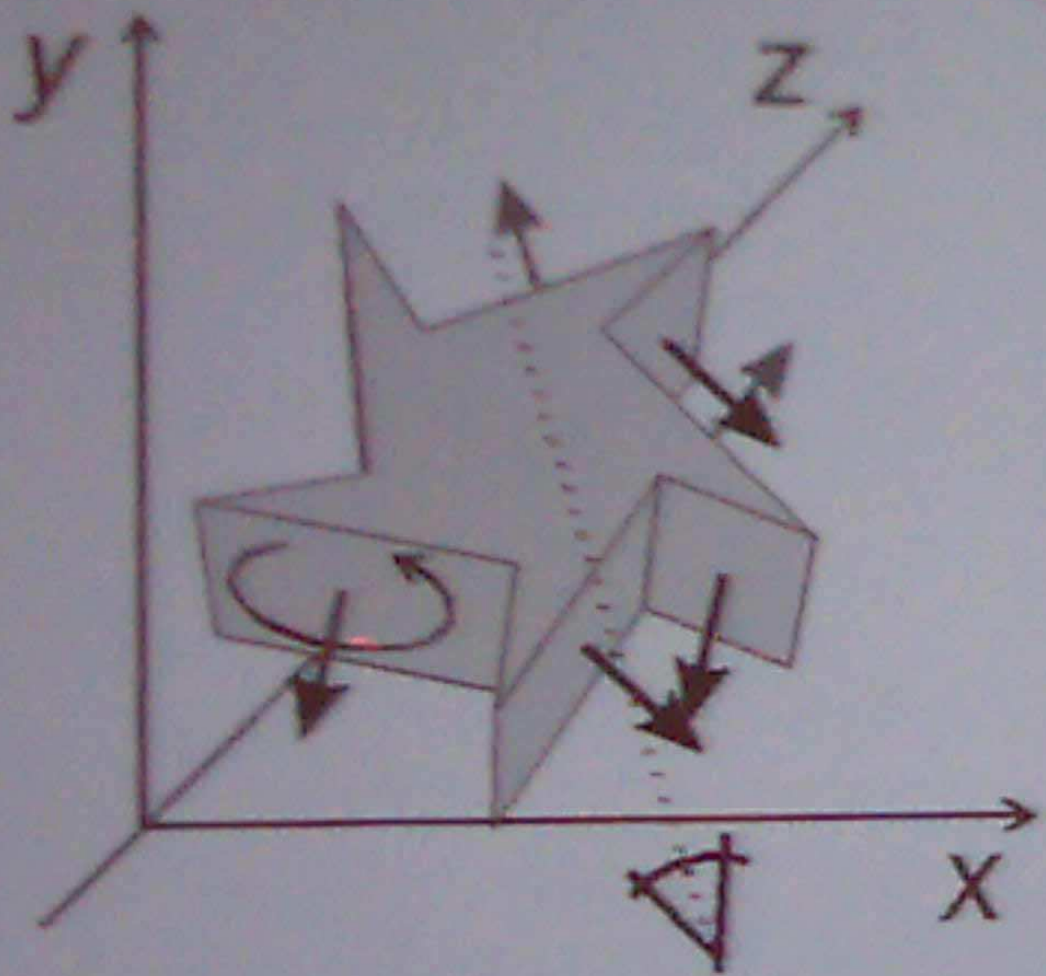
Porównanie reprezentacji

- **Dokładność**
 - Podział przestrzeni
 - B-rep (wielokątowa)
 - CSG (bryły gładkie)
 - B-rep (powierzchnie krzywoliniowe)
- **Dziedzina**
 - Kopiowanie prymitywów
 - Przesuwanie
 - Podział przestrzeni
 - B-rep (teoretycznie)
- **Unikatowość**
 - Drzewa osemkowe
 - Metody wkselowe
- **Poprawność**
 - B-rep
 - CSG (mało sprawdzeń)
 - Wkselowa
- **Domknięcie**
 - Kopiowanie prymitywów
- **Efektywność**
 - Modele nieprzetworzone np. CSG
 - Modele przetworzone np. wkselowe

Porównanie reprezentacji

- **Dokładność:**
 - Podział przestrzenny
 - B-rep (wielokątowa)
 - + CSG (bryły gładkie)
 - B-rep (powierzchnie krzywoliniowe)
- **Dziedzina:**
 - Kopiowanie prymitywów
 - Przesuwanie
 - Podział przestrzeni
 - B-rep (teoretycznie)
- **Unikatowość:**
 - Drzewa osemkowe
 - Metody wokselowe
- **Poprawność**
 - B-rep
 - CSG (mało sprawdzeń)
 - Wokselowa
- **Domknięcie**
 - Kopiowanie prymitywów
- **Efektywność**
 - Modele nieprzetworzone np. CSG
 - Modele przetworzone np. wokselowe

Wybieranie ścian tylnych



Własności wyświetlanych scen

- Spójność obiektów

Dla rozłącznych obiektów możemy porównywać obiekty a nie wszystkie ich ściany

- Spójność ścian

- Spójność krawędzi

- Spójność powierzchni

- Spójność głębokości

- Spójność ramek

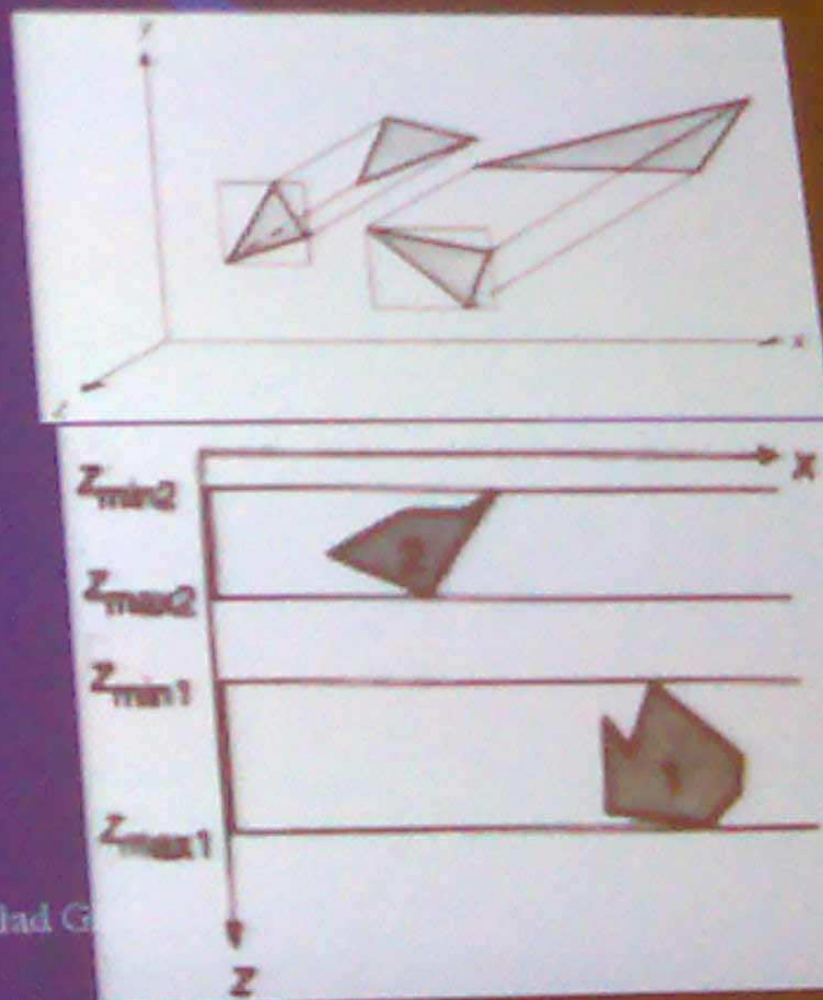
Algorytm Malarski (sortowanie ścian)

Problemy związane z zaslaniem obiektów (lub jego fragmentów) może być traktowane jako zadanie sortowania ścian.

Tworząc obraz wystarczy posortować ściany względem odległości od obserwatora i rysować je (wypełnione wielokąty) zaczynając od ściany położonej najdalej.

Efektywne obliczanie zasłaniania

- Jeśli na rzutni prostokąty ograniczające się nie przecinają to żadna z dwóch brył nie zasłania drugiej
- *Testowanie minmax*
Jeśli wzdłuż osi z (kierunku patrzenia) wszystkie wierzchołki pierwszej bryły leżą przed wszystkimi wierzchołkami drugiej, to druga nie może zasłaniać pierwszej



Algorytm sortowania ścian

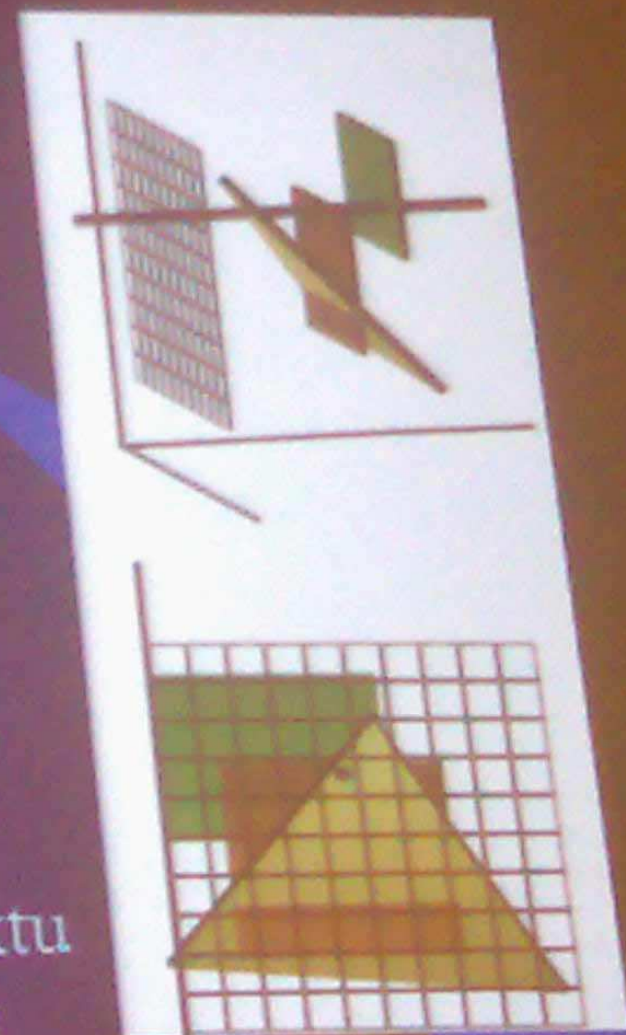
1. Wybieramy ścianę P leżącą najdalej obserwatora (o największej współrzędnej z)
2. Jeśli z -ograniczenia P i pozostałych ścian (Q_i) są rozłączne to P nie może zasłaniać żadnej ściany
 - Rysujemy i wypełniamy P i rozpatrujemy pozostałe ściany (pkt 1.)
3. Jeśli nie (z -ograniczenia ściany P i Q przecinają się) to sprawdzamy:
 - A) czy są rozłączne x -ograniczenia
 - B) czy są rozłączne y -ograniczenia

Algorytm Z-Bufora (bufora głębokości)

Dla każdego piksela rzutu (oprócz koloru) należy przechowywać współrzędną z narysowanego wielokąta

- Pamięć obrazu przechowuje wartości barw
- *Z-bufor* z zawiera informacje o odległości obiektu, którego barwa zapamiętana jest w pamięci obrazu.

Jeśli współrzędna z rozpatrywanego punktu (x, y) nie jest dalej od obserwatora niż punkt który został zapamiętany w buforach to barwa i głębokość zapisywana jest do pamięci.



Algorytm

Wartości w z-buforze $\in (0, z_{max})$

- Dla wszystkich (x, y) $Z_{buf}[x, y] = 0$.

- Dla każdego wielokąta {

Dla każdego piksela rzutu wielokąta {

z := wartość współrzędnej z wielokąta dla piksela (x, y)

if ($z \geq Z_{buf}[x, y]$) {

$Z_{buf}[x, y] = z$, WritePiksel(x, y , kolor wielokąta)

}}

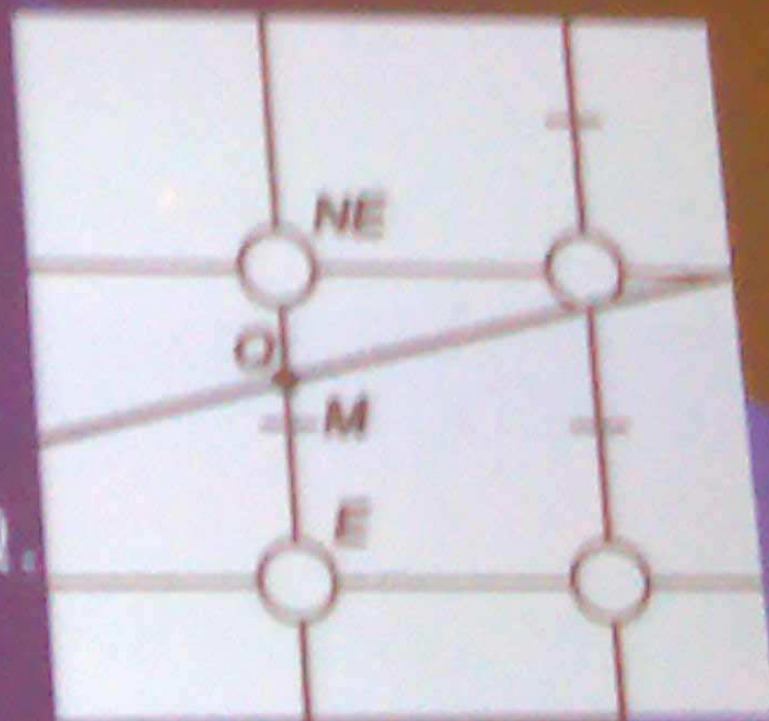
Zalety algorytmu

- Nie jest potrzebne wstępne sortowanie
- Łatwość implementacji (sprzętowej i programowej)
- Dowolna kolejność przeglądania wielokątów

Usuwanie zakłóceń(2)

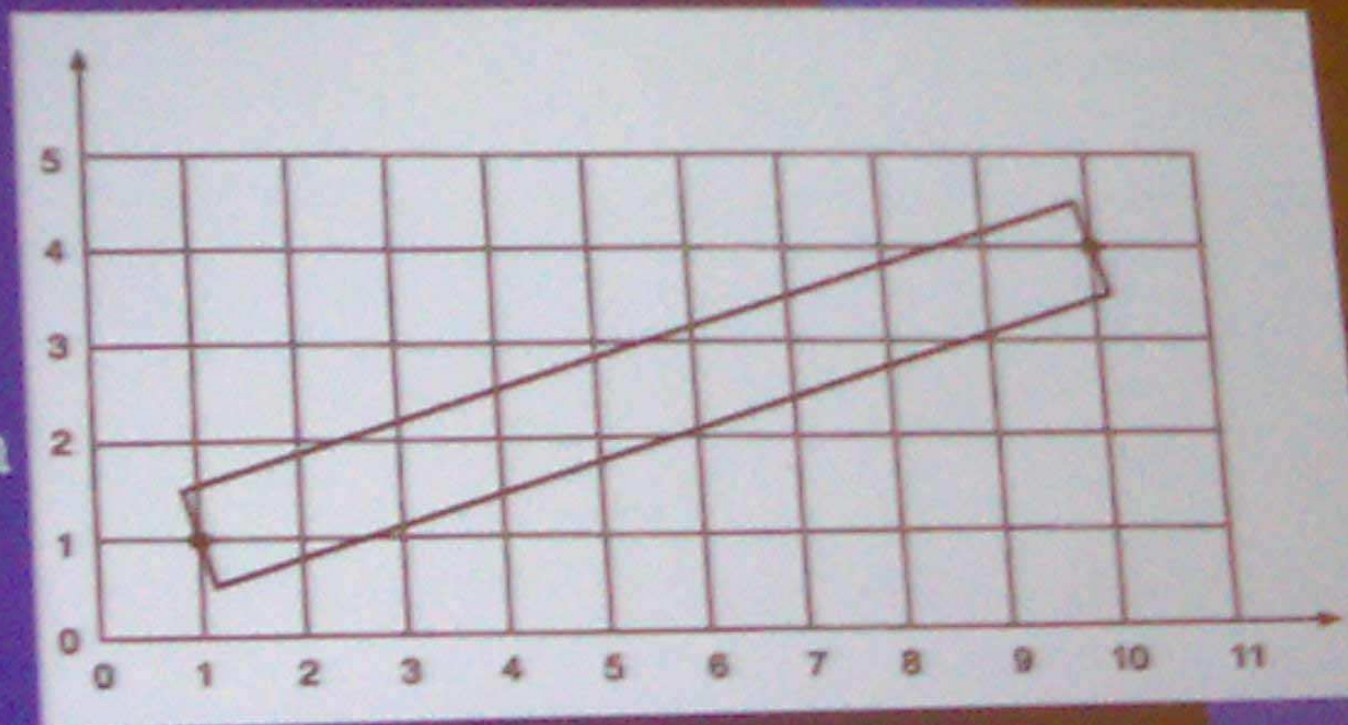
Metoda z dwoma pikselami w kolumnie

- Piksele leżą najbliżej idealnej linii
- Odcień piksela NE zależy od długości odcinka NE-Q, odcień piksela E od Q-E
- Suma odcieni pikseli NE i E jest stała



Próbkowanie powierzchni

- Kwadratowe piksele
- Odcinek ma określoną szerokość
- Odcinek ma wносить pewien udział w zaczernienie piksela
- Wymagana jest wielobitowa reprezentacja piksela
- Podczas rysowania ustawianych jest kilka pikseli



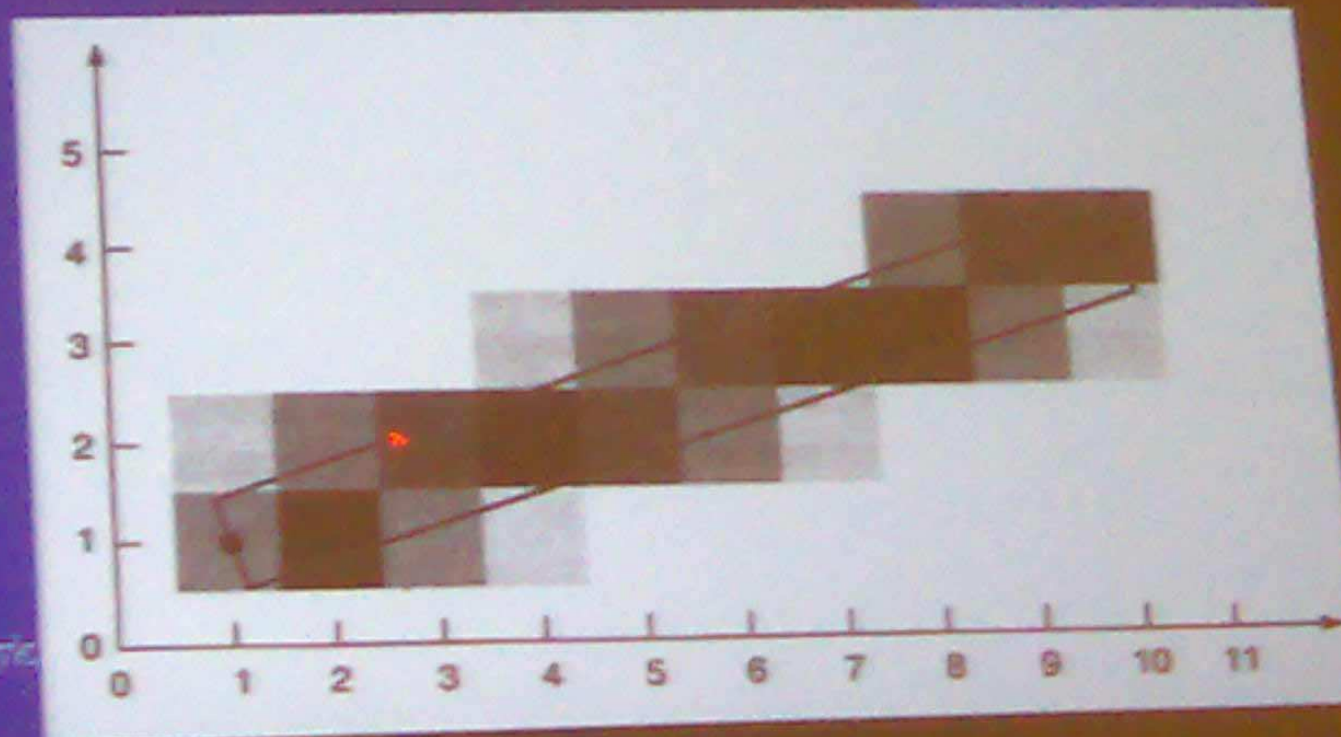
Bezwagowe próbkowanie powierzchni

Jasność zaznaczonego piksela jest proporcjonalna do powierzchni zakrytej przez odcinek

Obliczanie jasności piksela

- Nadpróbkowanie (Oversampling)

Możliwe jest rysowanie linii o grubości mniejszej niż jeden piksel



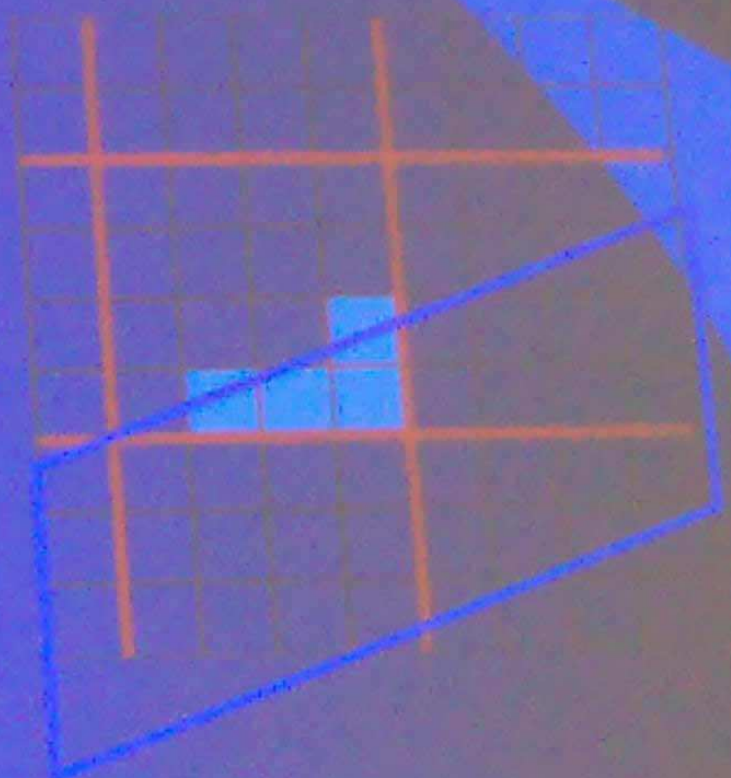
Nadpróbkowanie (oversampling)

Odcinek o grubości jednego piksela rysujemy tak jakby był odcinkiem złożonym z pewnej liczby mniejszych pikseli
 O jasności piksela decyduje liczba zakrytych pikseli

- Przykład

Piksel złożony z 16 „małych pikseli”

$$\begin{aligned} \text{Jasność piksela} &= 4/16 I_{\max} \\ &= 1/4 I_{\max} \end{aligned}$$

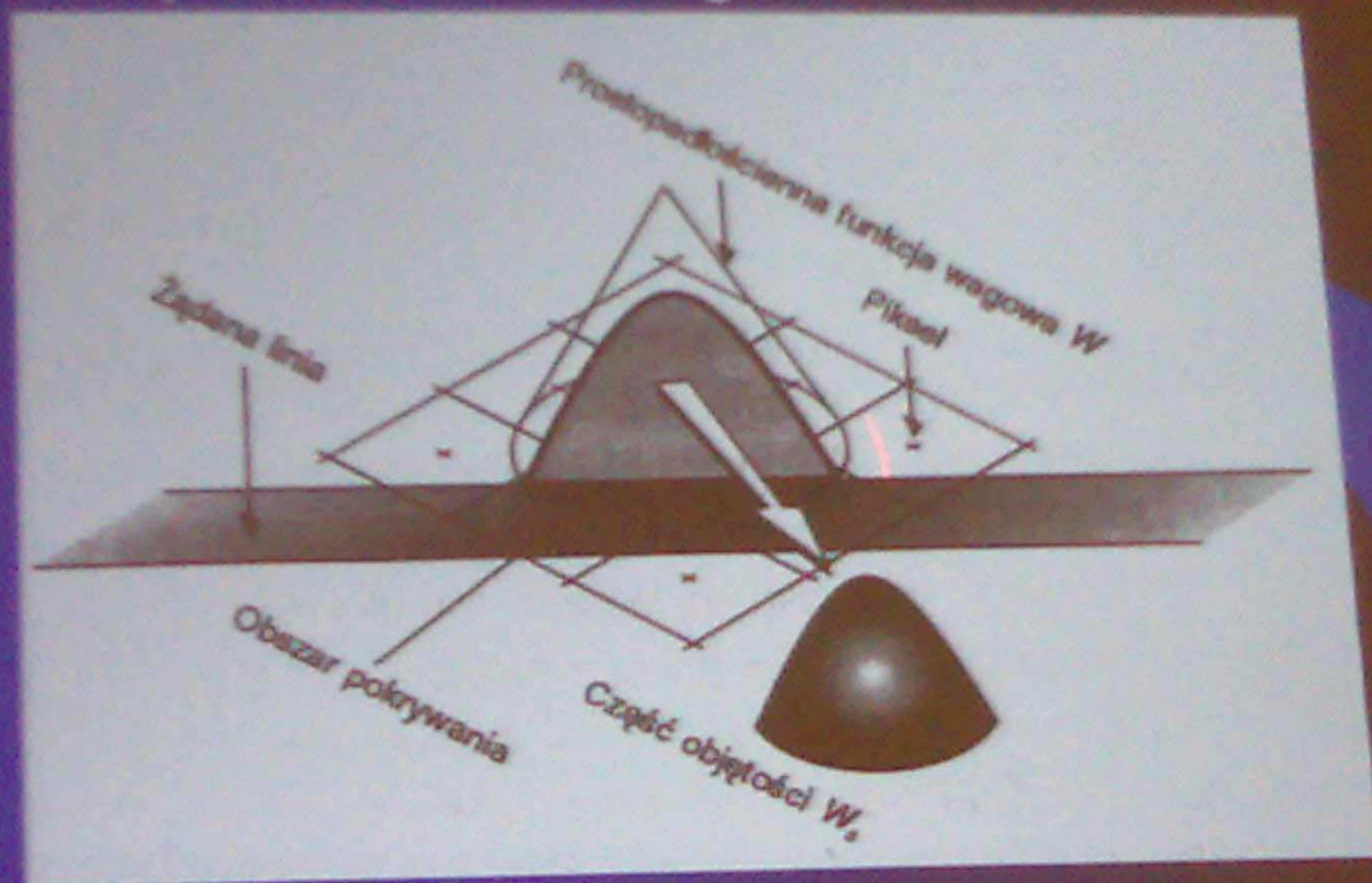


Właściwości bezwagowego próbkowania powierzchni

- jasność piksela zależy od odległości odcinka od środka piksela
 - im odcinek jest dalej, tym jego wpływ na jasność jest mniejszy
- odcinek nie wpływa na jasność piksela jeśli go nie przecina
- takie samo pole wnosi równą jasność
 - np. poziome odcinki o grubości ułamkowej wyglądają tak samo

Filtr stożkowy

- waga zależy liniowo od odległości od środka obszaru

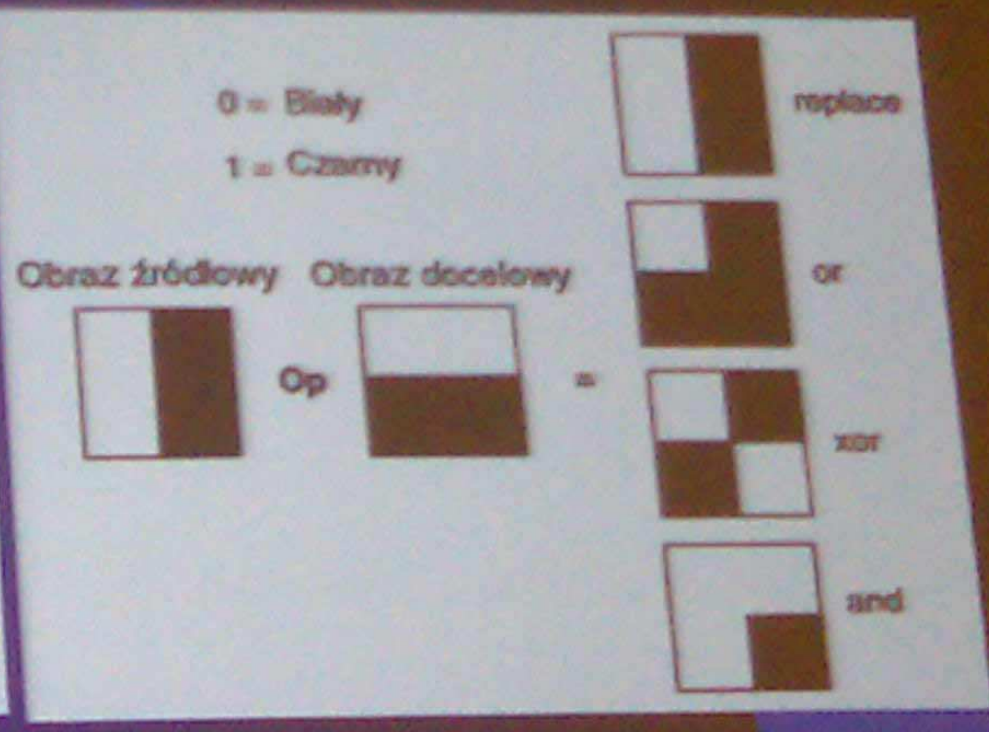
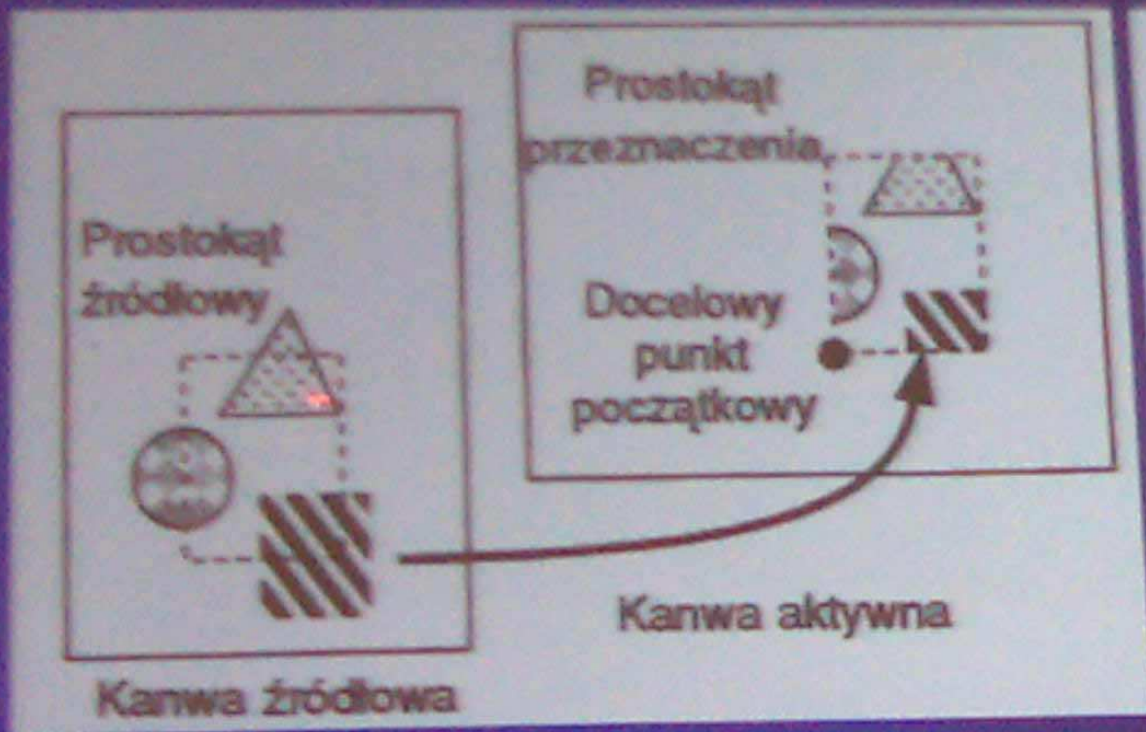


Filtr stożkowy dla kołowego piksela o średnicy dwóch skoków siatki

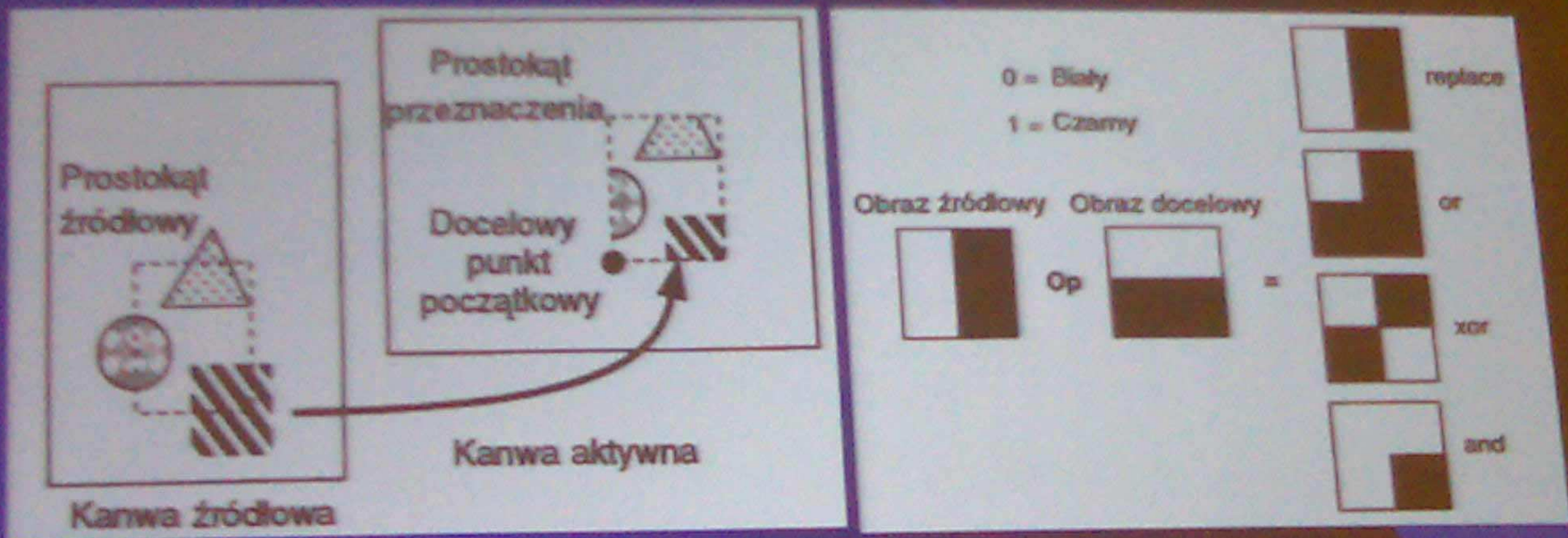
Mapy bitowe

- Kanwa
- Układy współrzędnych
- Atrybuty kanwy (kontekst kanwy)
 - pisak (kolor, kształt)
 - wypełnienie
- Kopiowanie
- Maski
- Przysyłanie
- Przesuwanie/Skalowanie

Kopiowanie map bitowych



Kopiowanie map bitowych



Rodzaje map bitowych

- 1-bitowe
- 8-bitowe odcienie szarości
- 8-bitowe z paletą kolorów (indeksowane)
- 24-bitowe RGB, Lab
- 32-bitowy CMYK, RGBA
- do 12, 14, 16 bitów kanał

Wypełnianie wielokątów

- Wyznaczenie współrzędnych piksela do wypełnienia
- Ustalić czy i czym należy wypełnić piksel
 - Wypełnianie stałym kolorem
 - Wypełnianie tonalne
 - Wypełnianie wzorami

Wypełnianie rysunków rastrowych

- kolor obrysu
- kolor (wzór) wypełniania

Segment to poziomy odcinek pikseli wewnątrz wielokąta

Algorytmy wypełnianie wielokątów

Rysunki rastrowe

- Wypełnianie rekurencyjne
np. metoda z czterema sąsiadami
- Wypełnianie liniami poziomymi
np. Algorytm Smitha



Rysunki wektorowe

- Wypełnianie prostokąta

```
for (y = Y_min; y <= Y_max; y++)  
    for (x = X_min; x <= X_max; x++) /* wypełnianie  
        segmentu */  
        WritePixel(x, y, color);
```

Problemy

- Wielokrotne zapisywanie tego samego piksela

- Wypełnianie przez przeglądanie liniami poziomymi

Rysunki wektorowe

- Wypełnianie prostokąta

```
for (y = Y_min; y <= Y_max; y++)  
  for (x = X_min; x <= X_max; x++) /* wypełnianie  
    segmentu */  
    writePixel(x, y, color);
```

Problemy

- Wielokrotne zapisywanie tego samego piksela
- Wypełnianie przez przeglądanie liniami poziomymi

Wypełnianie wielokątów z przeglądaniem linii

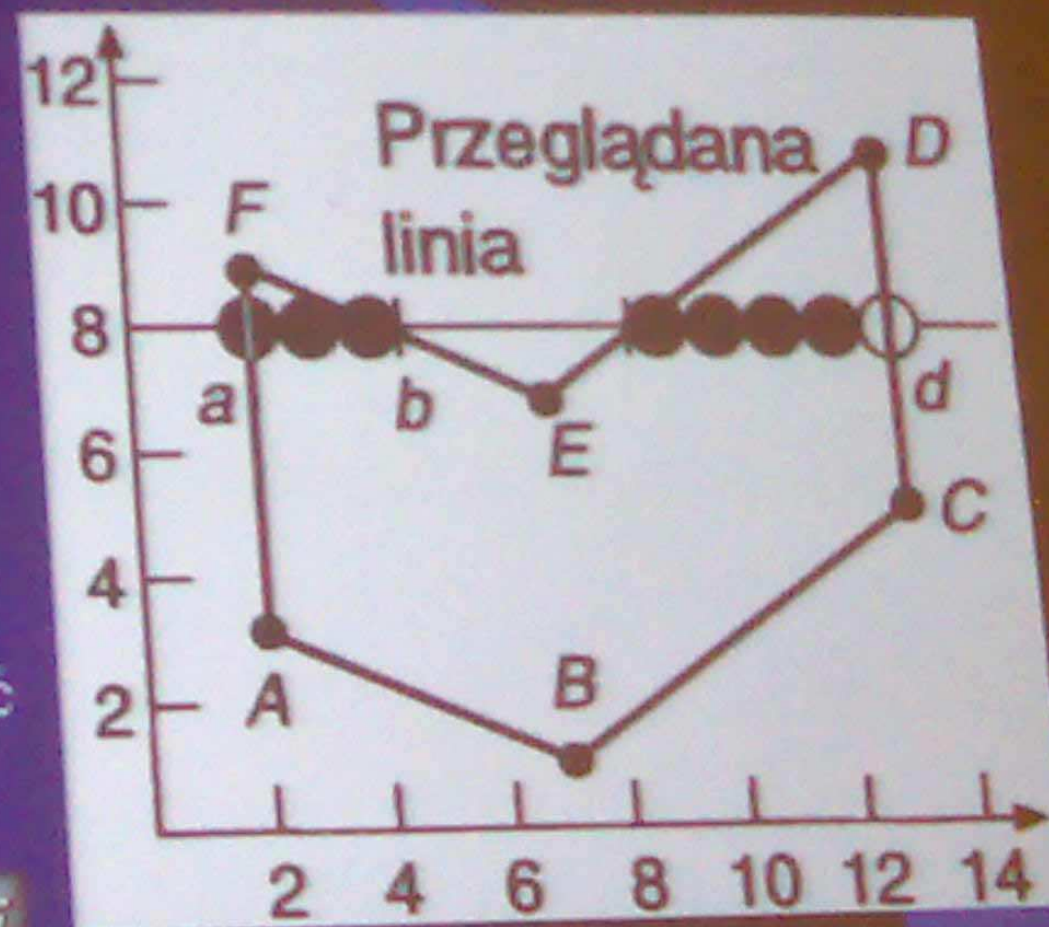
Kroki algorytmu:

for ($y = y_{\min}; y \leq y_{\max}; y++$)

- wyznaczenie przecięć poziomej prostej y z krawędziami wielokąta
- posortować te punkty według współrzędnej x
- wypełnić segmenty (piksele leżące wewnątrz wielokąta) korzystając z reguły parzystości

Problemy:

- wartości ułamkowe przecięć
- krawędzie poziome
- wspólny wierzchołek



Wypełnianie wielokątów z przeglądaniem linii

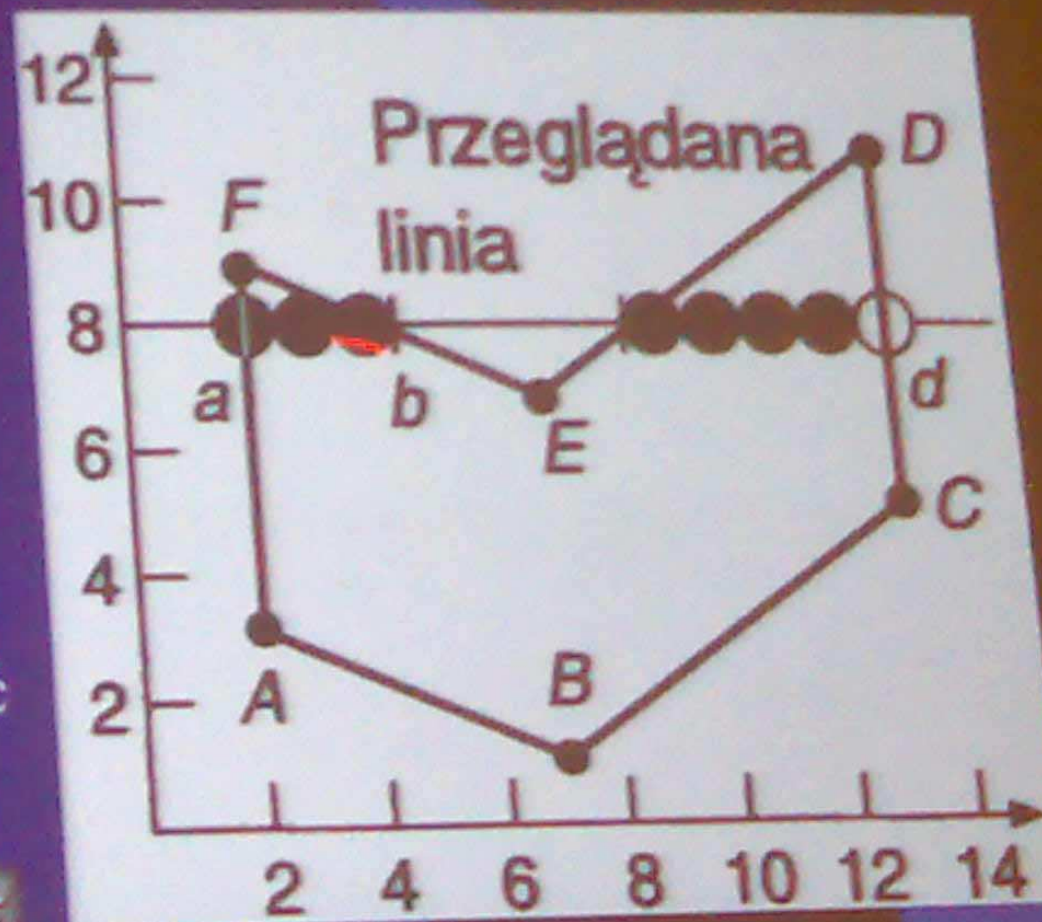
Kroki algorytmu:

for ($y = y_{\min}; y \leq y_{\max}; y++$)

- wyznaczenie przecięć poziomej prostej y z krawędziami wielokąta
- posortować te punkty według współrzędnej x
- wypełnić segmenty (piksele leżące wewnątrz wielokąta) korzystając z reguły parzystości

Problemy:

- wartości ułamkowe przecięć
- krawędzie poziome
- wspólny wierzchołek



Wypełnianie bez wielokrotnej konwersji

- konwersja w niewidocznej pamięci (budowanie masek wnętrza obiektu)
- wykorzystując tę maskę wpisujemy wzór prostokątny w obszar prostokątny



1. Konwersja wielokąta – tworzenie maski bitowej
2. Zerowanie tła z wykorzystaniem maski
3. Przygotowanie mapy obiektu ze wzorem
4. Zapis mapy obiektu

Algorytmy obcinania

- Obcinanie w kanwach (operacjami Copy)
- Obcinanie w trakcie konwersji
 - obcinanie wartości krańcowych
 - warunkowy zapis piksela
 - próbkowanie co kilka pikseli
 - obcinanie złożonych prymitywów

Efektywne gdy mało pikseli leży poza obszarem obcinania

- Obcinanie analityczne

Obcinanie analityczne

- operacje zmiennoprzecinkowe
- łatwe dla odcinków i wielokątów

- obcinanie prostokatem

- prostokąta
- wielokąta wypukłego
- dowolnego wielokąta
- okręgu

daje

- prostokąt
- wielokąt wypukły
- kilka wielokątów
- łuki



Obcinanie analityczne

- operacje zmiennoprzecinkowe
- łatwe dla odcinków i wielokątów

- obcinanie prostokątem

- prostokąta
- wielokąta wypukłego
- dowolnego wielokąta
- okręgu

daje

- prostokąt
- wielokąt wypukły
- kilka wielokątów
- łuki



Obcinanie analityczne

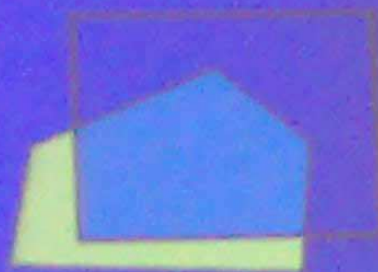
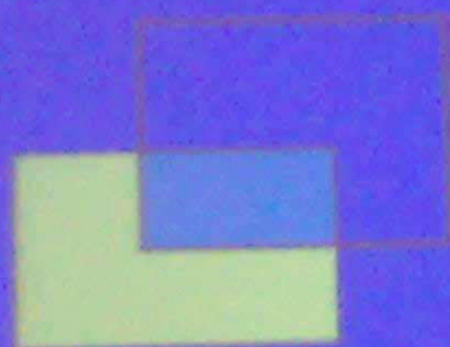
- operacje zmiennoprzecinkowe
- łatwe dla odcinków i wielokątów

- obcinanie prostokątem

- prostokąta
- wielokąta wypukłego
- dowolnego wielokąta
- okręgu

daje

- prostokąt
- wielokąt wypukły
- kilka wielokątów
- łuki



Obcinanie odcinków

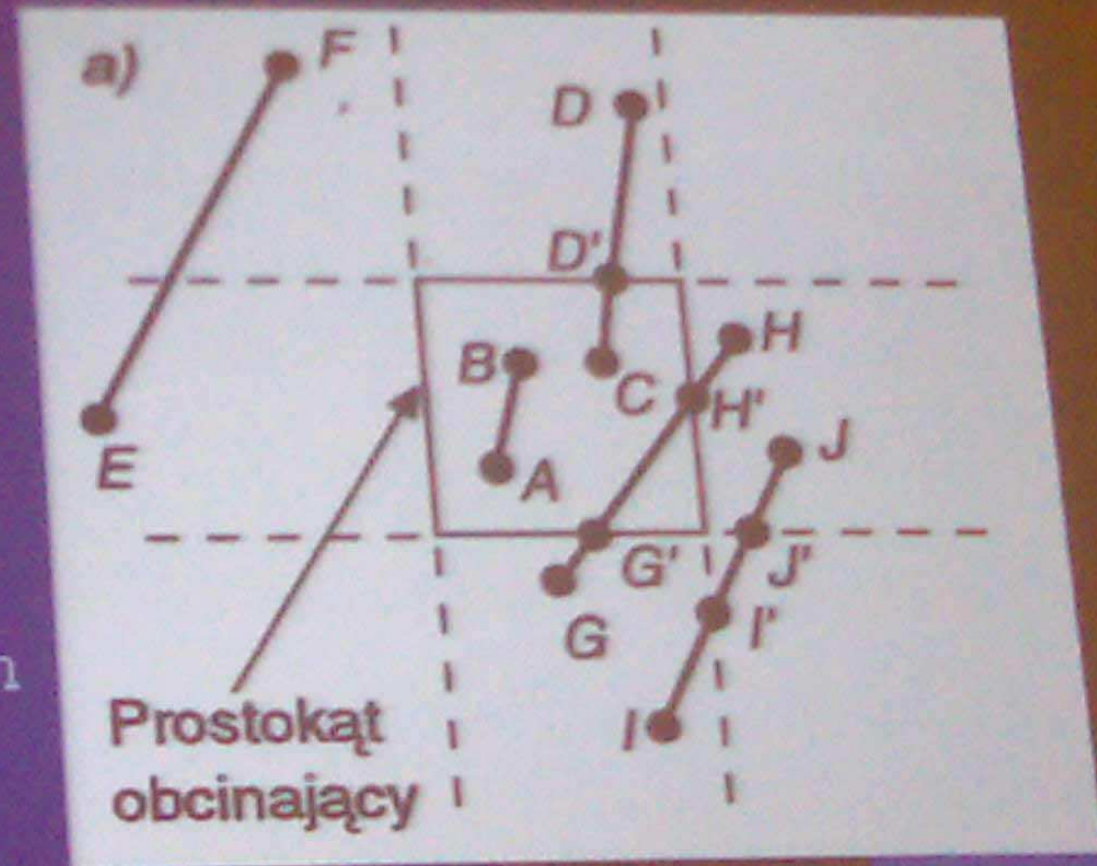
- Obcinanie punktów

$$x_{\min} \leq x \leq x_{\max}$$

$$y_{\min} \leq y \leq y_{\max}$$

- Obcinanie odcinków z rozwiązywaniem układu równań

- analiza punktów końcowych odcinka
- obliczanie współrzędnych punktu przecięcia odpowiednich prostych
- sprawdzenie czy punkt przecięcia leży na odcinku
- sprawdzenie czy punkt przecięcia leży na krawędzi obcinającej



Przykład 1 - Obcinanie z rozwiązywaniem układu równań

Czy odcinek (0, 0) - (100, 200), będzie narysowany na monitorze o rozdzielczości 1024x800?

Parametryczne równanie odcinka

$$Q(t) = (1-t) P_p + t P_k = P_p + t (P_k - P_p)$$

$x = x_0 + t(x_1 - x_0)$	$(x_0, y_0) = (0, 0)$
$y = y_0 + t(y_1 - y_0)$	$(x_1, y_1) = (100, 200)$

$$\left. \begin{matrix} x = 100t \\ y = 200t \end{matrix} \right\} t \in \langle 0, 1 \rangle$$

Przecięcie z linią $x = 1024$

$$\begin{aligned} x &= 100t = 1024 \\ t &= 10.24 \quad t \notin \langle 0, 1 \rangle \\ &\text{nie zostanie obcięty} \end{aligned}$$

Przecięcie z linią $y = 800$

$$\begin{aligned} y &= 200t = 800 \\ t &= 4 \quad t \notin \langle 0, 1 \rangle \\ &\text{nie zostanie obcięty} \end{aligned}$$



Przykład 2 - Obcinanie z rozwiązywaniem układu równań

Czy odcinek opisany równaniem parametrycznym

$$\left. \begin{array}{l} x = 200t - 100 \\ y = 100t \end{array} \right\} t \in \langle 0, 1 \rangle$$

zostanie obcięty prostą $x = 0$?

Przecięcie z linią $x = 0$

$$x = 200t - 100 = 0$$

$$t = 100/200 = \frac{1}{2} \quad t \in \langle 0, 1 \rangle$$

Zostanie obcięty

Współrzędne punktu przecięcia :

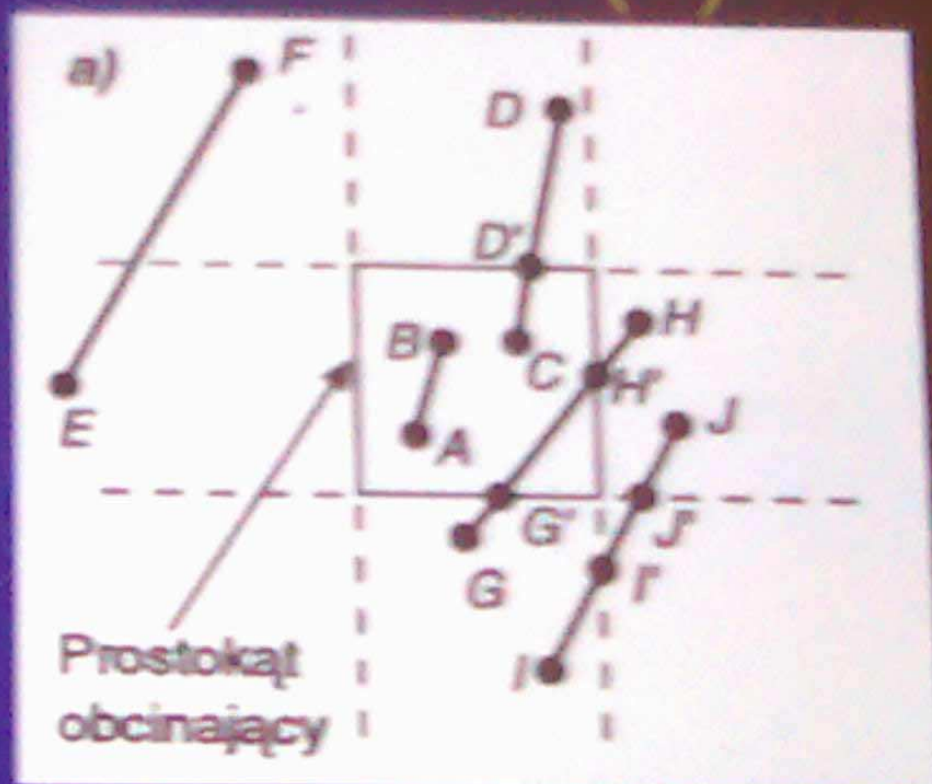
$$x = 0$$

$$y = y\left(\frac{1}{2}\right) = 100 * \frac{1}{2} = 50$$

Algorytm Cohena-Sutherlanda (1)

Podstawowe kroki algorytmu

- Akceptacja odcinka (AB)
- Odrzucenie odcinka (EF)
- Podział odcinka krawędzią obcinającą na dwie części, tak aby jedną można było odrzucić (iteracyjne obcinanie odcinka)



Algorytm bardzo efektywny gdy

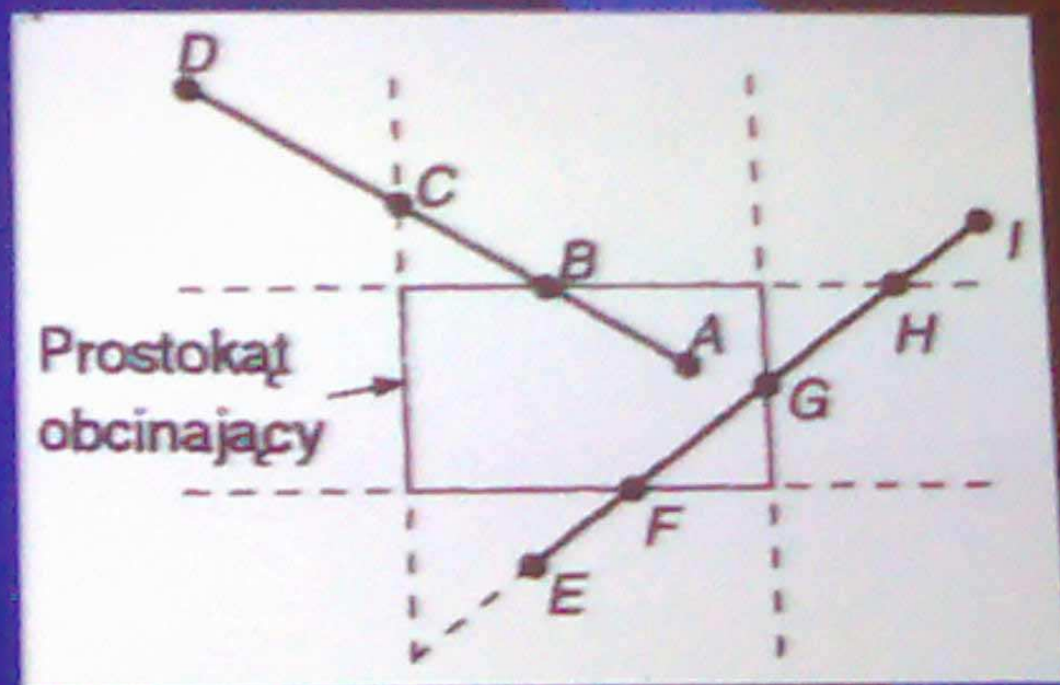
- Duży prostokąt obcinający (obejmuje większość pola wyświetlania)
- Mały prostokąt obcinający

Algorytm Cohena-Sutherlanda (3)

Podział odcinka

Podziału dokonujemy wykorzystując krawędź, którą odcinek przecina. W algorytmie musimy korzystać z tego samego porządku testowania np. (góra, dół, prawa, lewa)

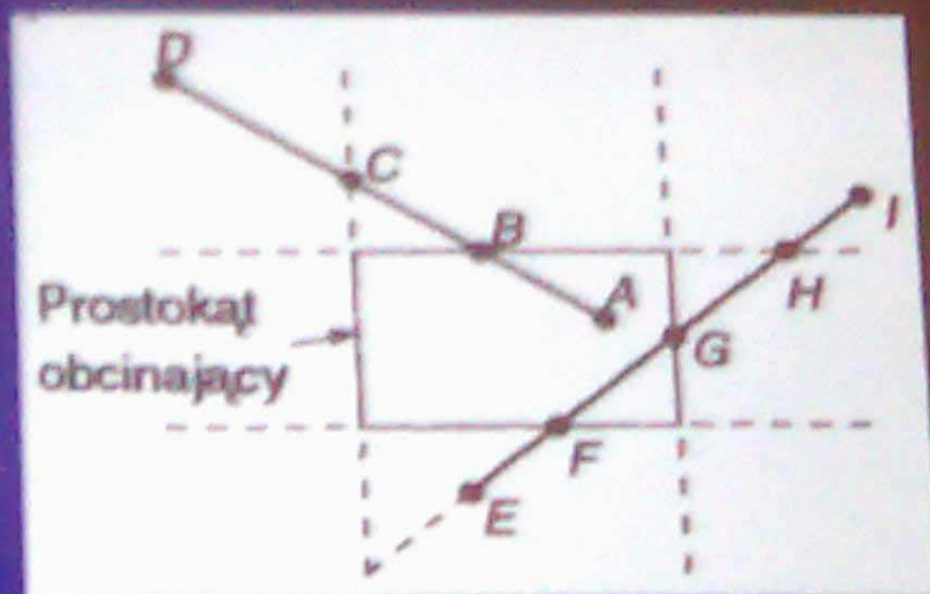
Bity kodu odpowiadają przecinanym krawędziom



Przykład 1

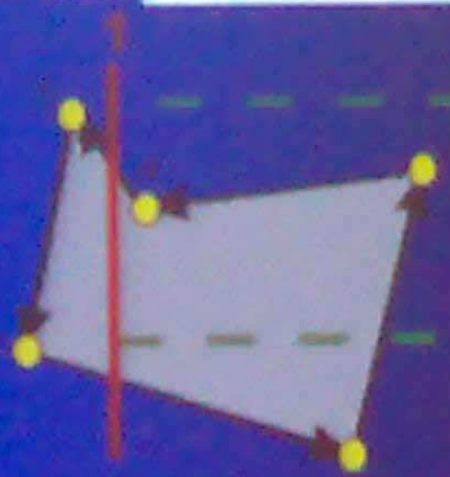
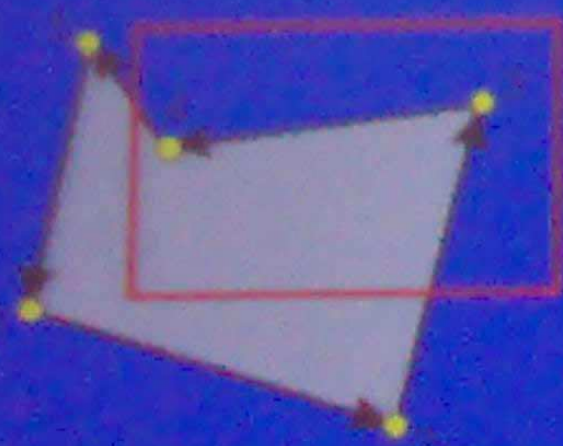
Odcinek AD (A - 0000, D - 1001)

- $A \text{ OR } D = 1001 \Leftrightarrow 0$
Nie można zaakceptować odcinka
- $A \text{ AND } D = 0$
Nie można odrzucić odcinka
- Wybieramy punkt D (jako punkt zewnętrzny)
Odcinek przecina krawędź górną i lewą (kod 1001)
- Obcinamy krawędzią górną i otrzymujemy AB
Porządek testowania powoduje, że najpierw obcinamy krawędzią górną
- Analizujemy odcinek AB



Algorytm Sutherlanda-Hodgmana

Obcinanie wielokąta prostą obcinającą
(obcinanie kolejnymi krawędziami wielokąta)



Krzywe parametryczne

• $x = \xi_x(t)$, $y = \xi_y(t)$

• funkcje liniowe $x = 20t + 5$
 $y = 10t + 100$

t	0	1	2	3	4
x	5	25	45	65	85
y	100	110	120	130	140

• funkcje nieliniowe $x = 2t^2 + 4$
 $y = t^2 + 5$

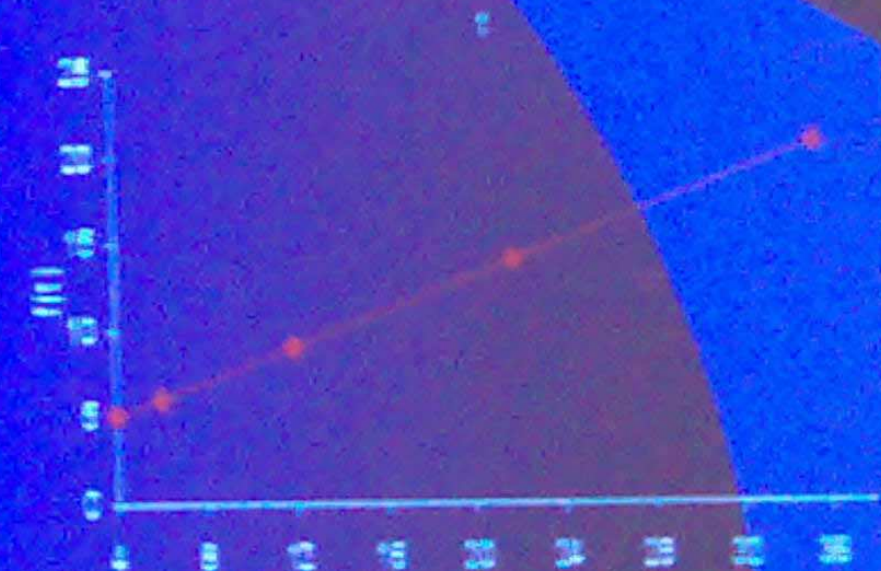
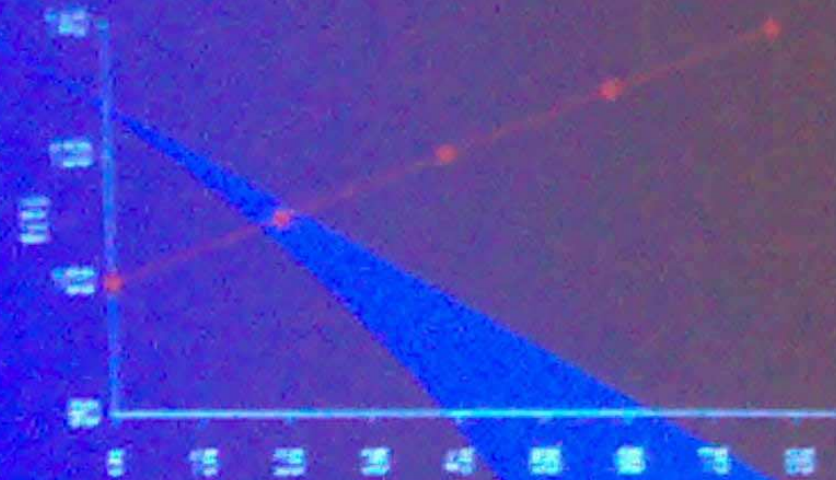
t	0	1	2	3	4
x	4	6	12	22	36
y	5	6	9	14	21

jesli $t' \in \langle 0, 1 \rangle$ $t' = 1/4 * t \Rightarrow t = 4t'$

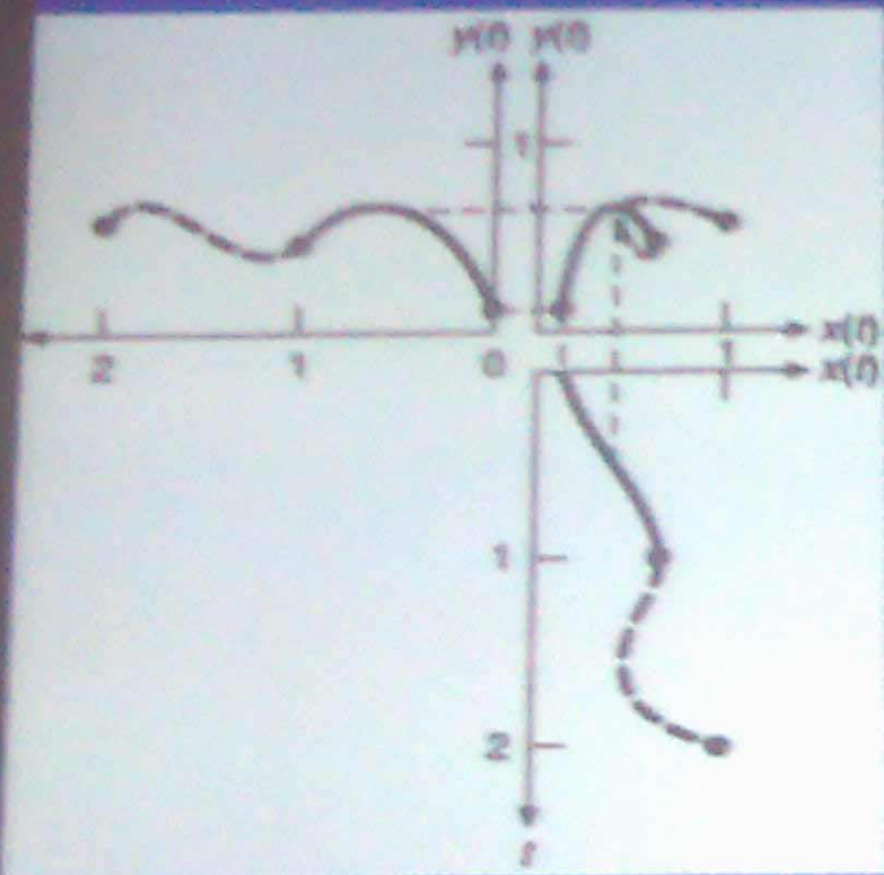
$x' = 2(4t')^2 + 4 = 32t'^2 + 4$

$y' = (4t')^2 + 5 = 16t'^2 + 5$

$t' \in \langle 0, 1/4, 1/2, 3/4, 1 \rangle$



Parametryczne krzywe trzeciego stopnia



- $\vec{r}(t) = at^3 + bt^2 + ct^1 + d$

$$x(t) = a_x t^3 + b_x t^2 + c_x t^1 + d_x$$

$$y(t) = a_y t^3 + b_y t^2 + c_y t^1 + d_y$$

$$z(t) = a_z t^3 + b_z t^2 + c_z t^1 + d_z$$

$$Q(t) = [x(t), y(t), z(t)]$$

- Reguła Hornera

$$f(t) = ((at + b)t + c)t + d$$

- Wektory styczne w punkcie

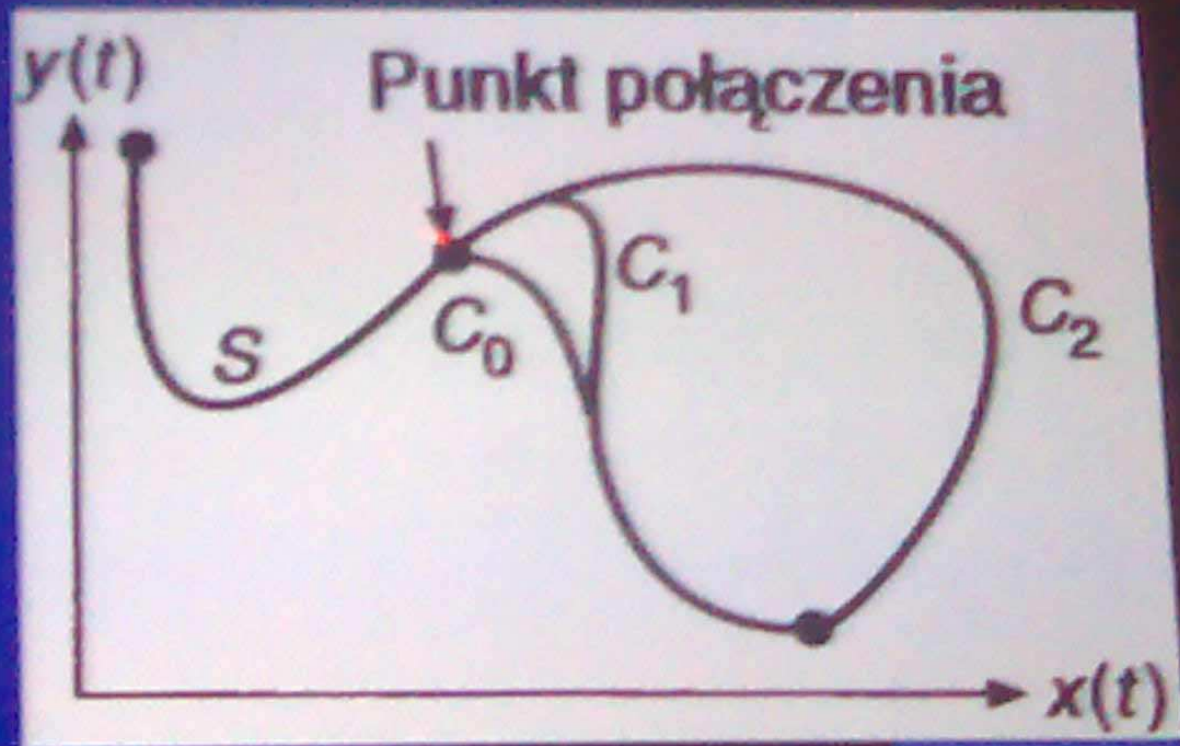
$$Q'(t) = [d/dt x(t), d/dt y(t), d/dt z(t)]$$

$$\vec{f}(t) = 3at^2 + 2bt + c$$

Ciągłość

Ciągłość geometryczna

- G^0 połączenie segmentów
- G^1 kierunki wektorów stycznych (nachylenie segmentów) równe w punkcie połączenia



Ciągłość parametryczna C^n

pochodna jest parametrycznym wektorem stycznym

- C^1 kierunki i długości wektorów stycznych (pierwsza pochodna) są równe
- C^2 kierunki i długości wektorów drugiej pochodnej są równe

Krzywa jako kombinacja liniowa punktów (1)

$$P(x,y) = P (f_x(t), f_y(t)) \quad t \in \langle 0,1 \rangle$$
$$f(t) = at + b$$

- punkt początkowy $P_p(x_p, y_p)$

$$t = 0 :$$

$$P_p = (x_p = x(0), y_p = y(0));$$

- punkt końcowy $P_k(x_k, y_k)$

$$t = 1 :$$

$$P_k = (x_k = x(1), y_k = y(1));$$

$$\begin{cases} x = a_x t + b_x \\ y = a_y t + b_y \end{cases}$$

$$\begin{cases} x_p = x(0) = b_x \\ x_k = x(1) = a_x + b_x = a_x + x_p \\ y_p = y(0) = b_y \\ y_k = y(1) = a_y + b_y = a_y + y_p \end{cases}$$

Krzywa jako kombinacja liniowa punktów (2)

Dla punktów $P_p(x_p, y_p)$ i $P_k(x_k, y_k)$ wyznaczamy współczynniki a_x, b_x, a_y, b_y

$$b_x = x_p \qquad b_y = y_p$$

$$a_x = x_k - x_p \qquad a_y = y_k - y_p$$

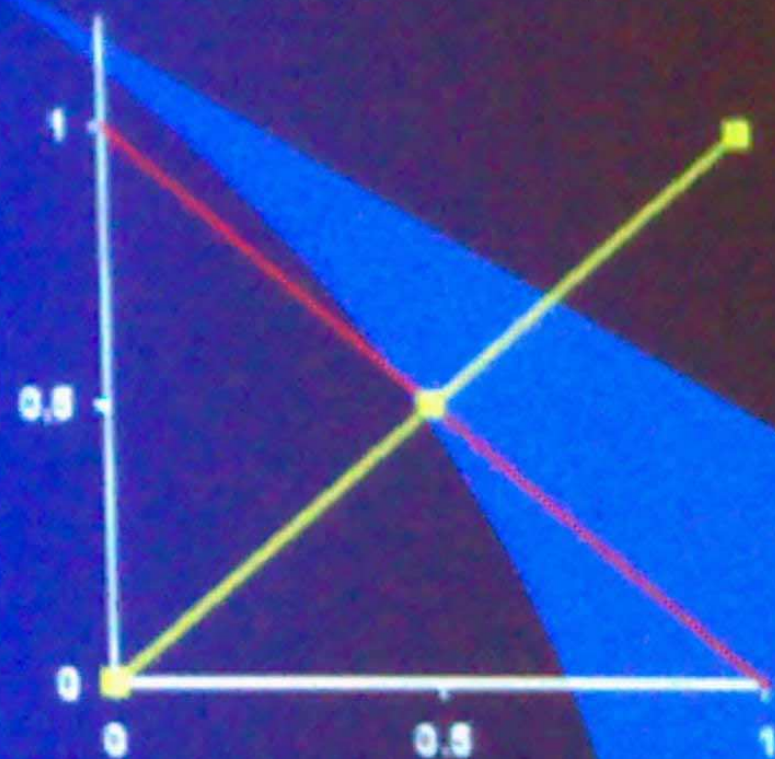
$$x = a_x t + b_x = (x_k - x_p) t + x_p \quad t \in \langle 0, 1 \rangle$$

$$y = a_y t + b_y = (y_k - y_p) t + y_p$$

$$\begin{cases} x = x_p (1-t) + x_k t \\ y = y_p (1-t) + y_k t \end{cases}$$

$$Q(t) = (1-t) P_p + t P_k$$

$$Q(t) = \sum_i W_i(t) P_i$$



Krzywe Béziera

Określone przez punkty końcowe (P_1, P_4) i dwa punkty kontrolne (P_2, P_3).

$$Q(t) = \sum_{i=0}^n B_i^n(t) P_{i+1} \quad t \in \langle 0, 1 \rangle$$

$$B_0^3 = (1-t)^3$$

$$B_1^3 = 3t(1-t)^2$$

$$B_2^3 = 3t^2(1-t)$$

$$B_3^3 = t^3$$

$$Q(t) = (1-t)^3 P_1 + 3t(1-t)^2 P_2 + 3t^2(1-t) P_3 + t^3 P_4$$

- $Q(0) = P_1$
- $Q(1) = P_4$
- $Q'(0) = 3(P_2 - P_1)$
- $Q'(1) = 3(P_4 - P_3)$

